

# Métodos Numéricos para Fenômenos Eletromagnéticos

## SUMÁRIO

### Método numérico TLM – Transmission Line Modeling.

1. Introdução
2. Princípio do TLM
3. Modelo TLM em 1D
4. Código TLM 1D
5. Campo Eletromagnético no domínio do tempo e em coordenadas Cartesianas
6. Exemplos
7. Conclusão
8. Referências

## Modelos usados em eletromagnetismo

Basicamente pode-se considerar três técnicas aplicadas na busca de solução de problemas: **experimental, analítica e numérica**.

Na maioria das situações, as técnicas experimentais são caras, consomem tempo, são perigosas, inflexíveis quanto a variação de parâmetros.

## Modelos usados em eletromagnetismo

### Exemplos de soluções analíticas e numéricas:

Métodos analíticos (solução exata)

- separação de variáveis;
- expansão em séries;
- solução integral (Laplace e Transformada de Fourier), etc.

### Métodos numéricos (solução aproximada)

- diferenças finitas;
- método dos momentos;
- elementos finitos;
- TLM (Transmission Line Modeling), etc.

## Modelos usados em eletromagnetismo

Na formulação de um problema em eletromagnetismo, muitas vezes são usadas expressões que relacionam duas funções, através do operador:

$$L\{\Phi(x)\} = g(x) \quad \left\{ \begin{array}{l} g(x) = \text{Função estímulo} \\ \phi(x) = \text{Função resposta} \\ L = \text{Operador} \\ x = \text{variável} \end{array} \right.$$

**Quanto ao domínio, a variável pode estar:**

- Domínio do tempo (time-domain – TD method);
- Domínio da frequência (frequency-domain – FD method).

## Modelos usados em eletromagnetismo

Exemplo de modelos mais popularmente usados:

- **Domínio do tempo, exemplo:**

- FDTD (Diferenças Finitas no Domínio do Tempo) – Eqs. Diferenciais
- TLM (Transmission-Line Modeling or Matrix) – Eqs. Diferenciais
- TD-FEM (Elementos Finitos no Domínio do tempo) – Eqs. Diferenciais.

São mais adequados para estudos de **transitórios**, banda larga e problemas não lineares.

- **Domínio da frequência, exemplo:**

- MoM (Método dos Momentos) – Eqs. Integrais
- FD-FEM (Elementos Finitos no Domínio da Frequência) – Eqs. Diferenciais

São mais adequados em aplicações de **regime permanente** e em banda estreita.

É possível migrar de um domínio a outro recorrendo a **transformadas de Fourier** – só tomar cuidado com o custo computacional.

## Modelos usados em eletromagnetismo

Exemplo de modelos mais popularmente usados:

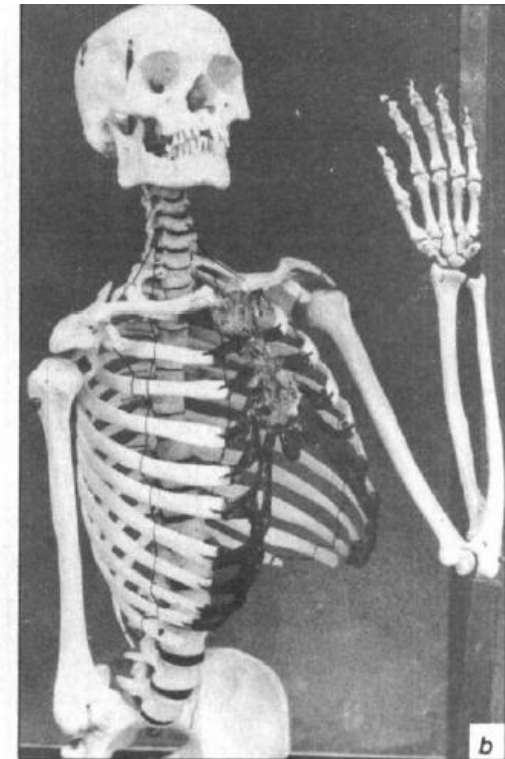
“Dois modelos de um humano. (a) modelo com roupas atrativas. (b) modelo mostrando o esqueleto humano”.

**JOHNS, P.B. The Art of Modelling. Electronics and Power, Aug., 1979.**



1 Two models of the human being

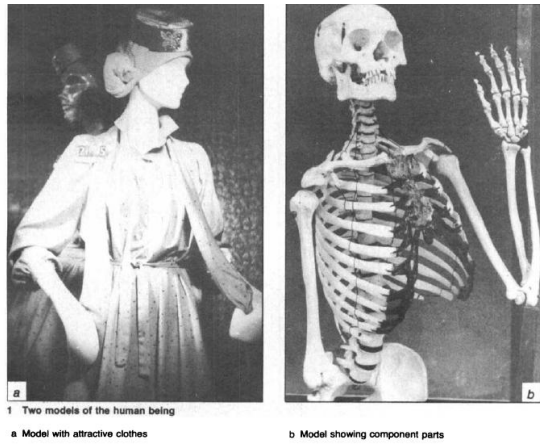
a Model with attractive clothes



b Model showing component parts

## Modelos usados em eletromagnetismo

Introdução – artigo Peter Johns, The Art of Modelling, 1979\*



### A arte da modelagem

por P. B. Johns, M.Sc., Ph.D., C.Eng., M.I.E.E.

*“Ao longo da história, os seres humanos vêm criando modelos dos fenômenos físicos que observam. Desde pinturas rupestres até a arte surrealista, desde modelos do átomo até modelos do universo, todos buscam destacar ideias específicas para análise ou comunicação com outras pessoas.*

*Como engenheiros, devemos ser especialmente habilidosos na arte de criar ou escolher os modelos matemáticos de nossos conceitos de engenharia. Propriedades desejáveis de um modelo, como o realce de áreas que requerem análise e a exclusão de áreas sem interesse, parecem óbvias. No entanto, o poder computacional à disposição do engenheiro profissional está crescendo enormemente com a proliferação de calculadoras e computadores. Assim, os métodos para analisar modelos estão mudando, e isso significa que os modelos que escolhemos no passado nem sempre serão os melhores para o presente e o futuro.”*

(\* ) Traduzido com ajuda d DeepSeek V3.

## Método numérico TLM – Transmission Line Modeling

Peter Johns [Johns,1971]

### Princípio:

- Aplica o modelo de propagação e dispersão de ondas de Huygens (ano 1698), considerando uma malha de linhas de transmissão interligadas por nós.
- Método baseado na analogia entre as equações de Maxwell (ano 1841) e sinais numa linha de transmissão (equações do telegrafista) – discretização do tempo-espacô.

### Características:

- Adequado para análise de transitórios e fenômenos de banda larga (**domínio do tempo**)
- Usa uma grade espacial (como em FDTD), mas analisa distribuição de tensão e corrente em vez de campo eletromagnético.

## Método numérico TLM – Transmission Line Modeling

Peter Johns [Johns,1971]

### Vantagens:

- Mais estável numericamente, mesmo em geometrias irregulares
- Ideal para simular guias de onda, acoplamentos e problemas de compatibilidade eletromagnética
- Flexibilidade em análise de sinais em apenas 1D (EPDA, aterramento, trilhas em PCB...)

### Desvantagens:

- Menos intuitivo para análise de campo eletromagnético, comparado ao FDTD.
- Pode ter um alto custo computacional para **estruturas eletricamente grandes**(\*)

(\*) Uma solução possível:

**TLM +  $E(x, y, z, t)$  e  $H(x, y, z, t)$ : expressões algébricas do campo eletromagnético no domínio do tempo e em coordenadas Cartesianas!**

(Tese G.P. Caixeta. Unicamp, 2000)

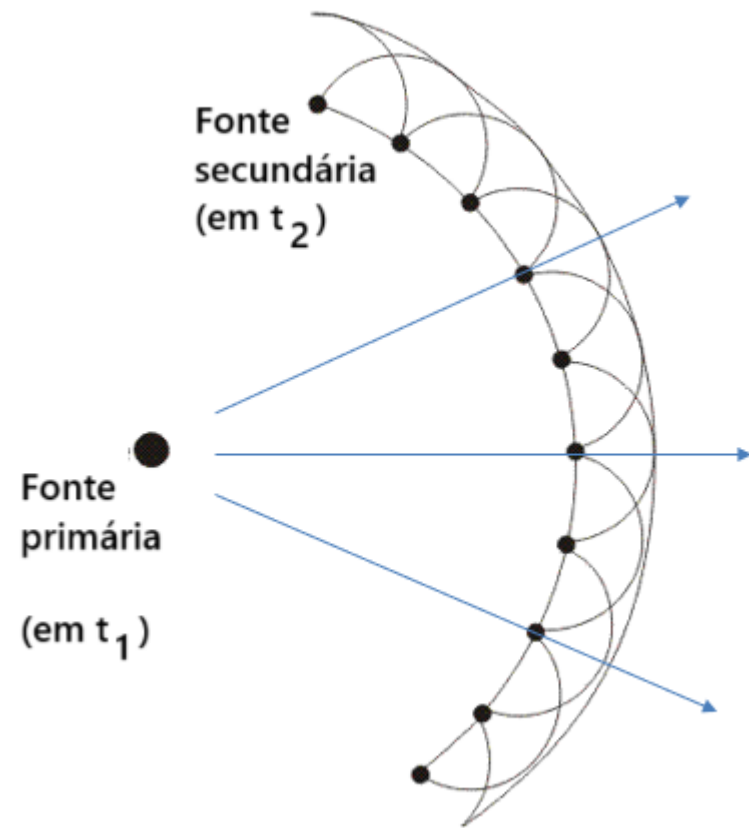
## TLM – Equação de onda

$$\begin{cases} E(z, t) & \rightarrow \nu(z, t) \\ H(z, t) & \rightarrow i(z, t) \end{cases}$$

Equações de Maxwell	Equações da LT (sem perdas)	Equações de onda (espaço livre)
$\vec{\nabla} \times \vec{E} = -\frac{\partial \vec{B}}{\partial t}$	$\frac{\partial^2 \nu(z, t)}{\partial z^2} = LC \frac{\partial^2 \nu(z, t)}{\partial t^2}$	$\frac{\partial^2 E_x}{\partial z^2} = \mu_0 \varepsilon_0 \frac{\partial^2 E_x}{\partial t^2}$
$\vec{\nabla} \times \vec{H} = \vec{J} + \vec{J}_d$	$\frac{\partial^2 i(z, t)}{\partial z^2} = LC \frac{\partial^2 i(z, t)}{\partial t^2}$	$\frac{\partial^2 H_y}{\partial z^2} = \mu_0 \varepsilon_0 \frac{\partial^2 H_y}{\partial t^2}$

## TLM x Princípio de Huygens

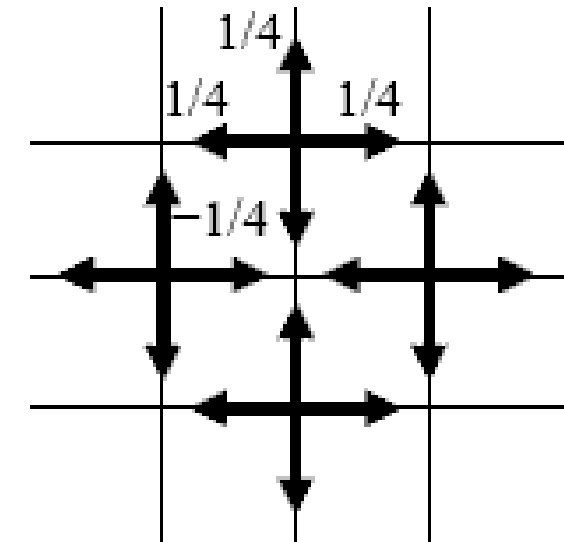
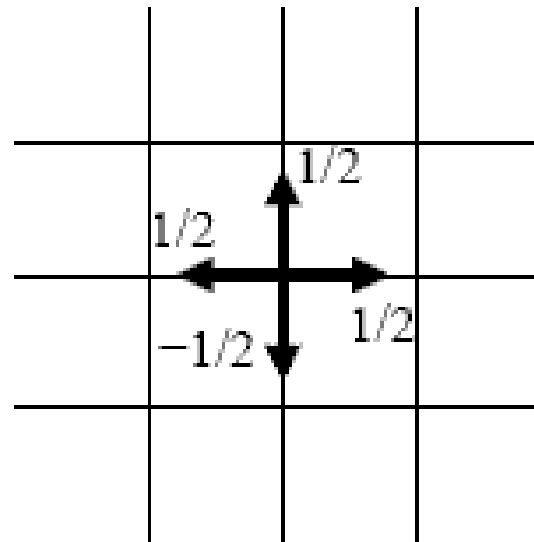
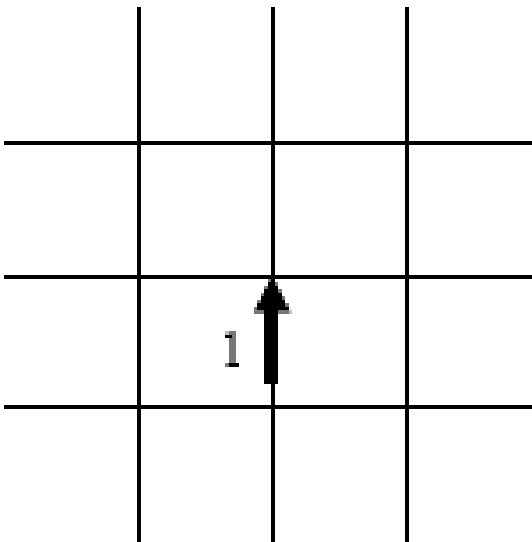
“Cada ponto de uma frente de onda atua como uma fonte de novas ondas secundárias, cuja envoltória determina a propagação da onda em um instante posterior”.



## TLM – a partir dos sinais de tensão e corrente numa LT

Modelo de malha TLM em 2D → um pulso de 1 pu incidindo no nó central, sendo parcialmente refletido e transmitido (LT)

$$\begin{cases} V_i = 1 \text{ pu} \\ V_S = 0,5 \text{ pu} \text{ (transmitido)} \text{ e } -0,5 \text{ pu} \text{ (refletido)} \end{cases}$$



## TLM – a partir dos sinais de tensão e corrente numa LT

Discretização do meio (em princípio homogêneo) como Linhas de Transmissão interconectadas (todas com a mesma  $Z_c$ ), então:

- o pulso incidente vê efetivamente três LTs em paralelo, com uma impedância equivalente  $Z_{eq} = \frac{Z_c}{3}$

- Coeficiente de reflexão e de transmissão dados por:

$$K_R = \frac{Z_c/3 - Z_c}{Z_c/3 + Z_c} = -0,5 \quad K_T = 2 \frac{Z_c/3}{Z_c/3 + Z_c} = 0,5$$

- Energias associadas ao pulso incidente e aos pulsos espalhados:

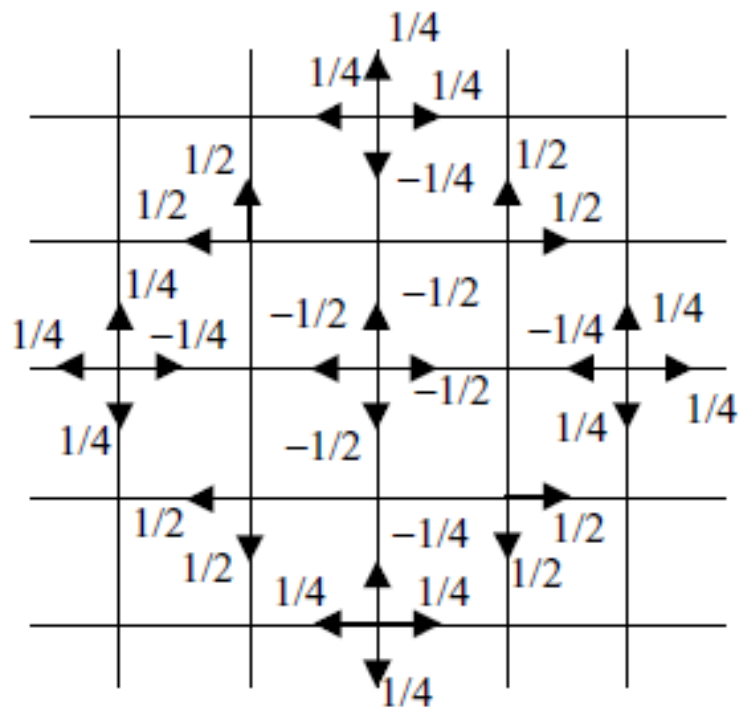
$$\epsilon_I = V_i^2 \times \Delta t / Zc = (1pu) \times \Delta t / Zc = \Delta t / Zc$$

$$\epsilon_S = [(-0,5)^2 + 0,5^2 + 0,5^2 + 0,5^2] \times \Delta t / Zc = \Delta t / Zc$$

## TLM – a partir dos sinais de tensão e corrente numa LT

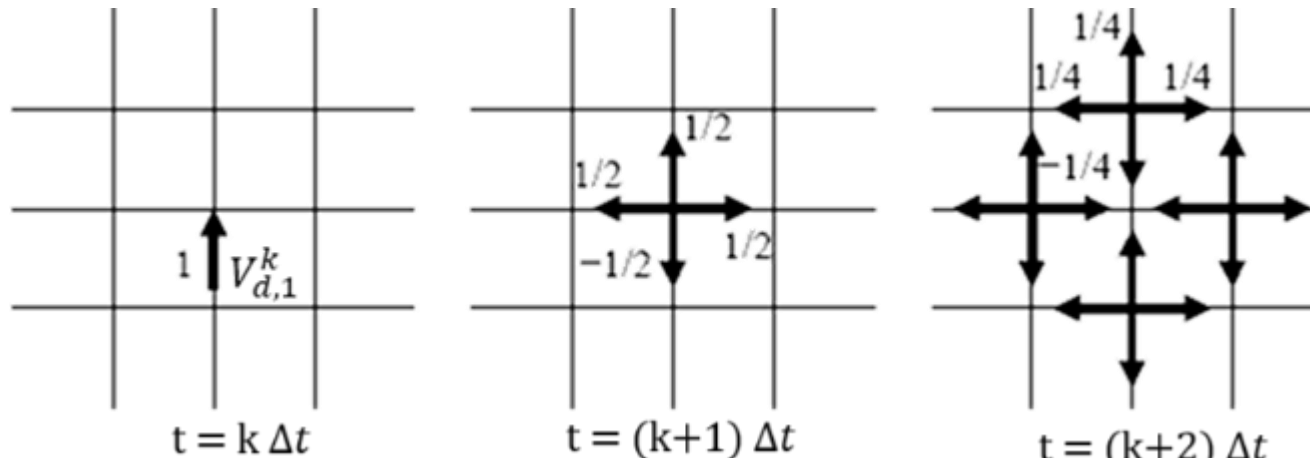
O próximo evento de espalhamento ocorre pela incidência de pulsos que foram anteriormente espalhados.

Em outras palavras, pulsos espalhados num nó, se tornam pulsos incidentes nos nós adjacentes, e assim sucessivamente.



## TLM – matriz de espalhamento

$V_{d,1}^k = 1 \text{ pu}$  = Amplitude do sinal direto (ou incidente) no nó 1, no instante  $k \Delta t$ .  
 Observe que se esta for a condição inicial,  $V_{d,2}^k = V_{d,3}^k = V_{d,4}^k = 0$ .



Considerando que  $K_R = -0,5$  e  $K_T = 0,5$ , conforme visto anteriormente, então a relação entre sinais refletidos e direto no nó 1, fica na forma:

$$V_{r,1}^k = 0,5(-V_{d,1}^k + V_{d,2}^k + V_{d,3}^k + V_{d,4}^k)$$

## TLM – matriz de espalhamento

Na forma matricial, considerando os domínios de um espaço pré-estabelecidos:

$$\mathbf{V}_{r,\ell}^k = \mathbf{S}_k \mathbf{V}_{d,\ell}^k$$

$\mathbf{V}_{r,\ell}^k$  = Vetor amplitude do sinal refletido/reverso na linha  $\ell$

$\mathbf{V}_{d,\ell}^k$  = Vetor amplitude do sinal direto/incidente na linha  $\ell$

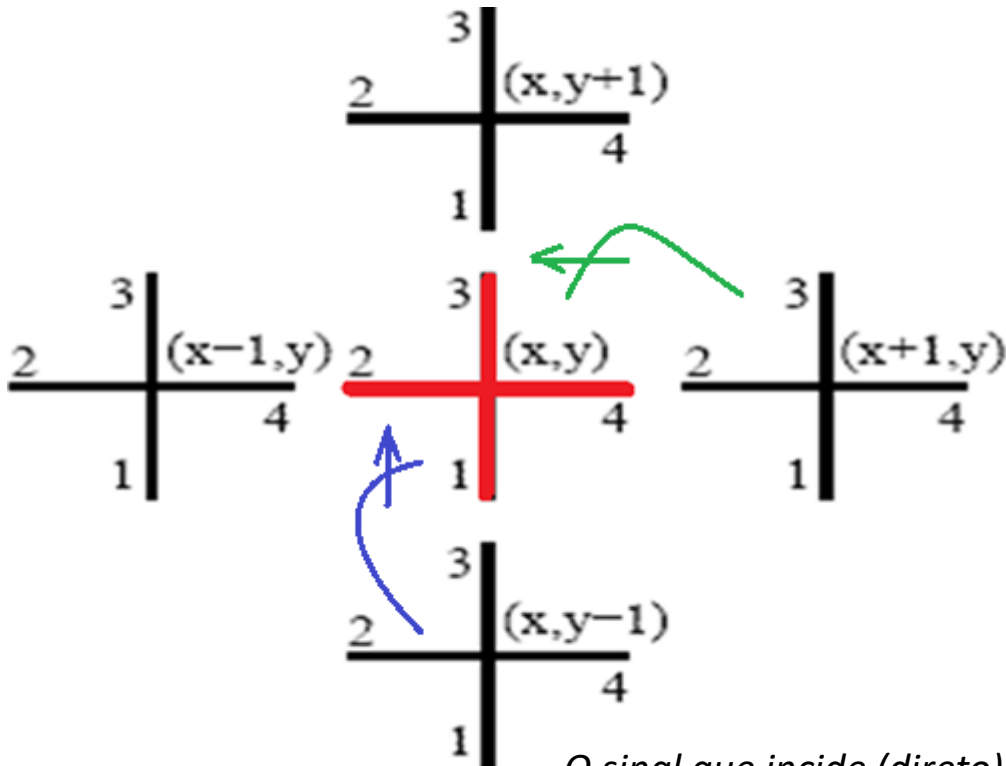
$\mathbf{S}_k$  = Matriz espalhamento na ponta da linha  $\ell$ , dada por:

$$\mathbf{S} = \frac{1}{2} \begin{bmatrix} -1 & 1 & 1 & 1 \\ 1 & -1 & 1 & 1 \\ 1 & 1 & -1 & 1 \\ 1 & 1 & 1 & -1 \end{bmatrix}$$

## TLM – matriz de espalhamento

Os nós adjacentes estão relacionados pela matriz de espalhamento.

Os sinais que incidem em cada nó, no instante posterior  $(k + 1) \Delta t$ , é o sinal que é refletido a partir do nó adjacente no instante anterior  $k \Delta t$  (espaço-tempo):



$$V_{d,1}^{k+1}(x, y) = V_{r,3}^k(x, y - 1)$$

$$V_{d,2}^{k+1}(x, y) = V_{r,4}^k(x - 1, y)$$

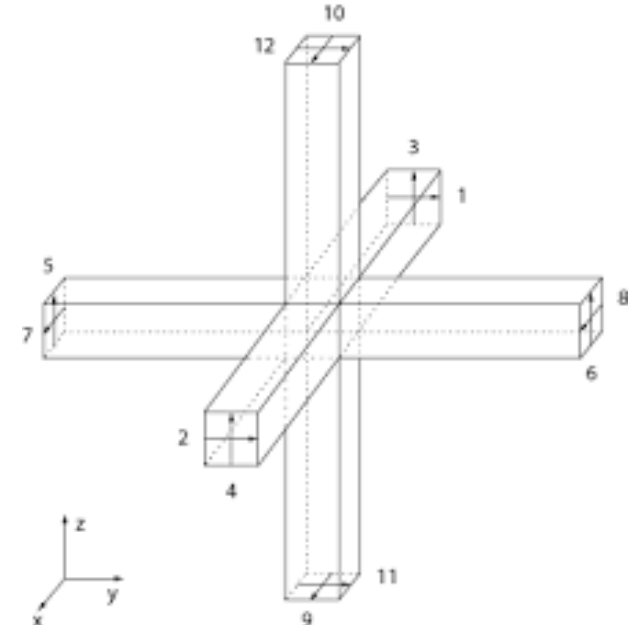
$$V_{d,3}^{k+1}(x, y) = V_{r,1}^k(x, y + 1)$$

$$V_{d,4}^{k+1}(x, y) = V_{r,2}^k(x + 1, y)$$

O sinal que incide (direto) na linha 1 no instante  $(k + 1)\Delta t$  é igual ao sinal que é refletido da linha 3, localizada em  $(x, y - 1)$  no instante anterior  $k\Delta t$

## TLM – considerações adicionais

- A discretização do espaço/tempo em 2D ou 3D faz essas mesmas considerações e são consideradas a partir da definição das matrizes envolvidas na análise.
- Considerações para meios não-homogêneos e com perdas, pode ser acrescidas a partir da matriz de espalhamento  $S_k$ .
- Diferentes condições de contorno (conexão de fontes, cargas, etc) podem ser consideradas com ajustes das equações que relacionam os sinais diretos e refletidos.
- A seguir, esse princípio será adotado na dedução de equações para modelar o comportamento de sinais em Linhas de Transmissão.



## TLM – Cuidados nas aplicações do modelo

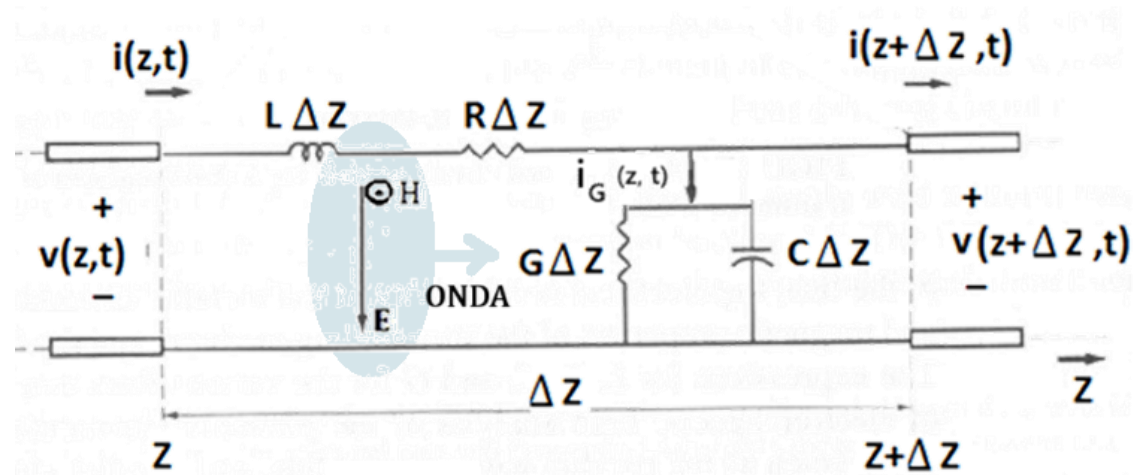
- As equações algébricas de onda são exatas, e suas soluções são exatas para o modelo e, aproximadas para aplicações práticas.
- Devemos ter cuidados na hora de segmentar o espaço. Aqui vamos considerar onda unidirecional – propagação ao longo do eixo “z” – e considerar segmentos em cascata de comprimentos  $\Delta z$ .
- Da eq. de onda TEM:  $v = \frac{1}{\sqrt{\mu\epsilon}} (m/s)$  e  $\eta = \sqrt{\mu/\epsilon} \Omega$
- Da equação da LT:  $v = \frac{1}{\sqrt{LC}} m/s$  e  $Z_c = \sqrt{L/C} \Omega$

## TLM – Cuidados nas aplicações do modelo

Para evitar dispersão numérica, é necessário relacionar a discretização espacial com a discretização no tempo

$$\Delta z \leftrightarrow \Delta t \text{ (?)}$$

## TLM – modelo Circuital de uma Linha de Transmissão:



## TLM – Cuidados nas aplicações do modelo

Para evitar dispersão (numérica) do sinal, em geral a relação abaixo é satisfatória:

$$\frac{\beta \Delta z}{2} \ll 1$$

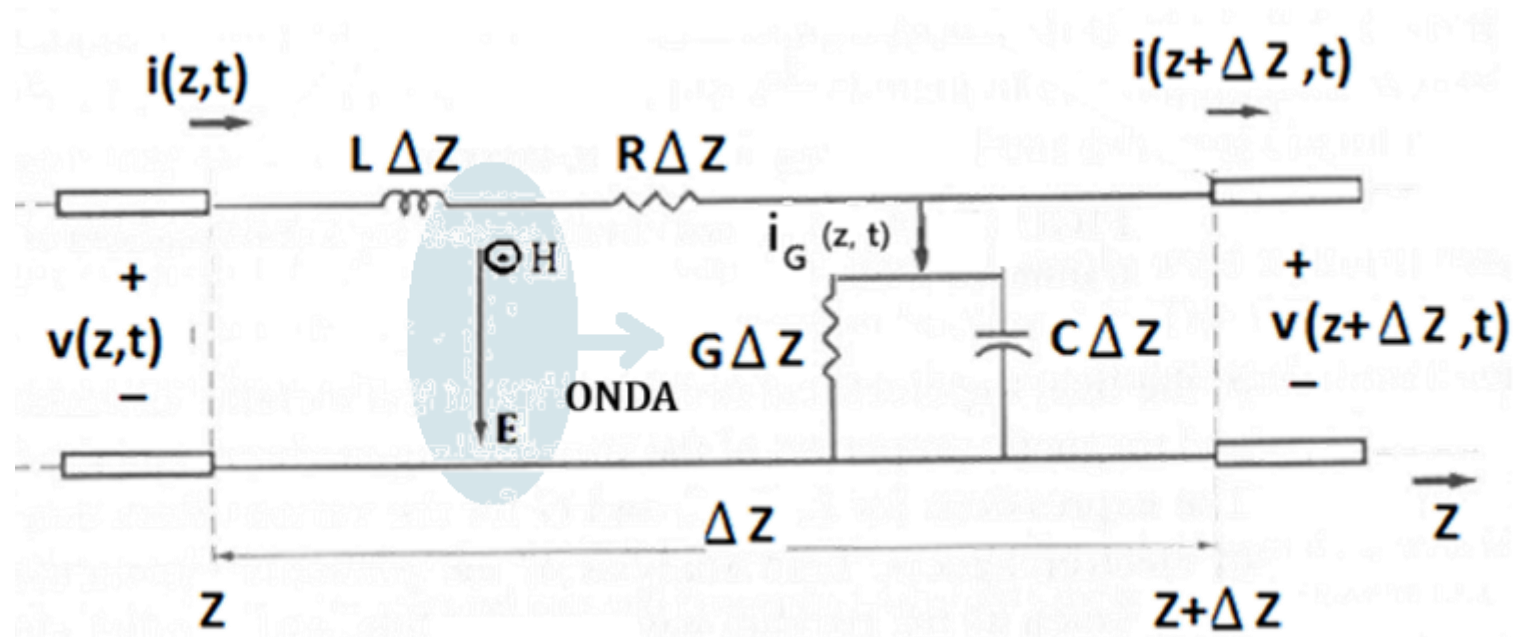
Nessas condições, o comprimento do segmento espacial ( $\Delta z$ ) será muito menor que o comprimento de onda da maior frequência de interesse, ou seja:

$$\frac{\pi \Delta z}{\lambda} \ll 1 \quad \rightarrow \quad \Delta z \ll \frac{\lambda}{\pi}$$

Adota-se:  $\Delta z \leq \begin{cases} \frac{\lambda}{10}, & \text{em geral} \\ \frac{\lambda}{100}, & \text{para modelos mais sensíveis.} \end{cases}$

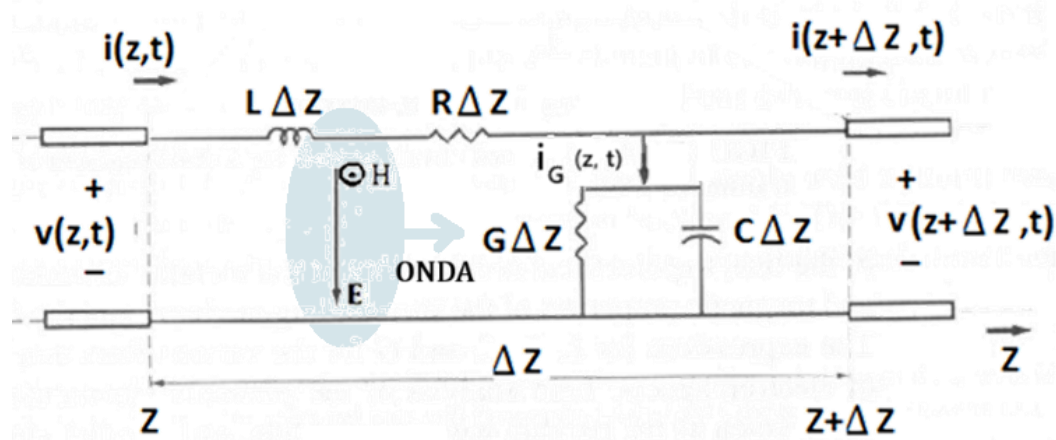
## TLM em 1D x Linha de Transmissão (LT)

Aplicação do TLM na modelagem de uma Linha de Transmissão com perdas e parâmetros distribuídos



## TLM em 1D x Linha de Transmissão (LT)

A partir do modelo de uma Linha de Transmissão com parâmetros distribuídos...



O tempo que um sinal leva para percorrer um segmento  $\Delta z$  da LT é:

$$\Delta t = \Delta z / v = \Delta z \sqrt{L_d C_d} = \sqrt{LC}$$

$L_d$  e  $C_d$  são parâmetros por unidade de comprimento da LT ;  
 $L$  e  $C$  são parâmetros de todo o segmento  $\Delta z$  da LT.

## Método numérico TLM em 1D

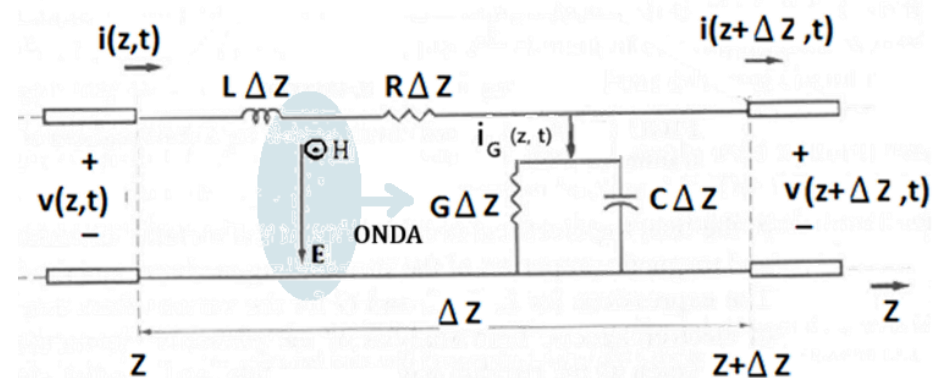
Impedância característica da LT:

$$Z_C = \sqrt{\frac{L/\ell}{C/\ell}} = \sqrt{\frac{L}{C}} \Omega$$

Assim, L e C podem ser determinados se conhecida  $Z_C$  e  $\Delta t$ :

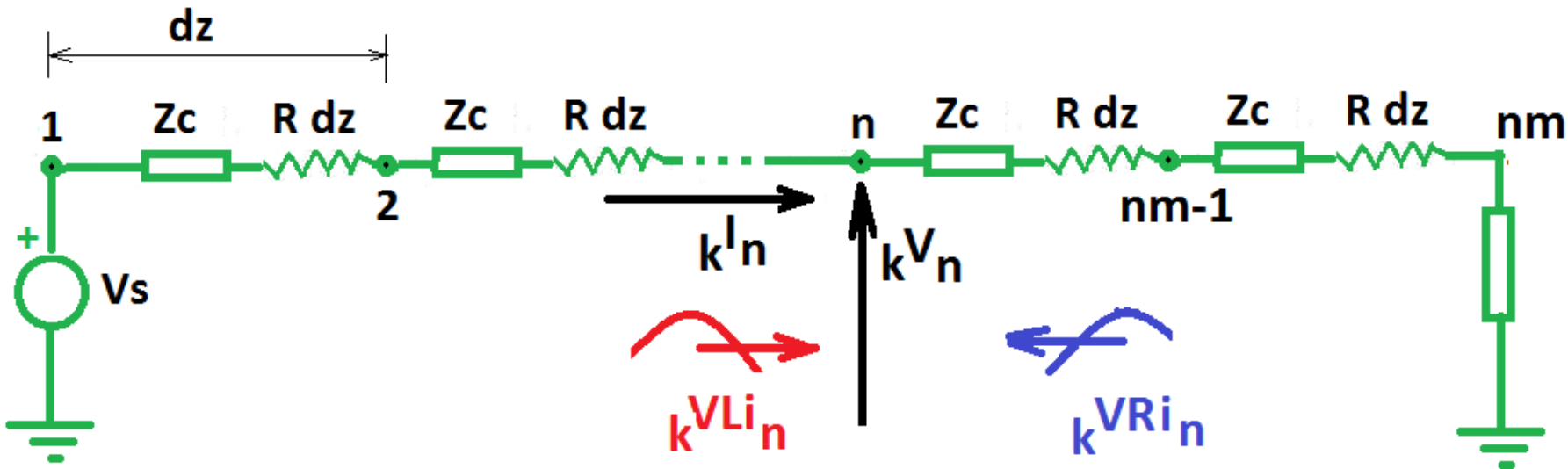
$$L = \Delta t \cdot Z_C \quad e \quad C = \frac{\Delta t}{Z_C}$$

Ou seja, definido o tempo de propagação ( $\Delta t$ ) na LT e  $Z_C$ , C e L ficam implicitamente definidas.



## TLM – considerações iniciais para o equacionamento

Para LT – parâmetros distribuídos:



$V_{Li}(n,k)$  = tensão incidente sobre o nó “n” pela esquerda, no instante  $k dt$ .  
 $V_{Ri}(n,k)$  = tensão incidente sobre o nó “n” pela direita, no instante  $k dt$ .

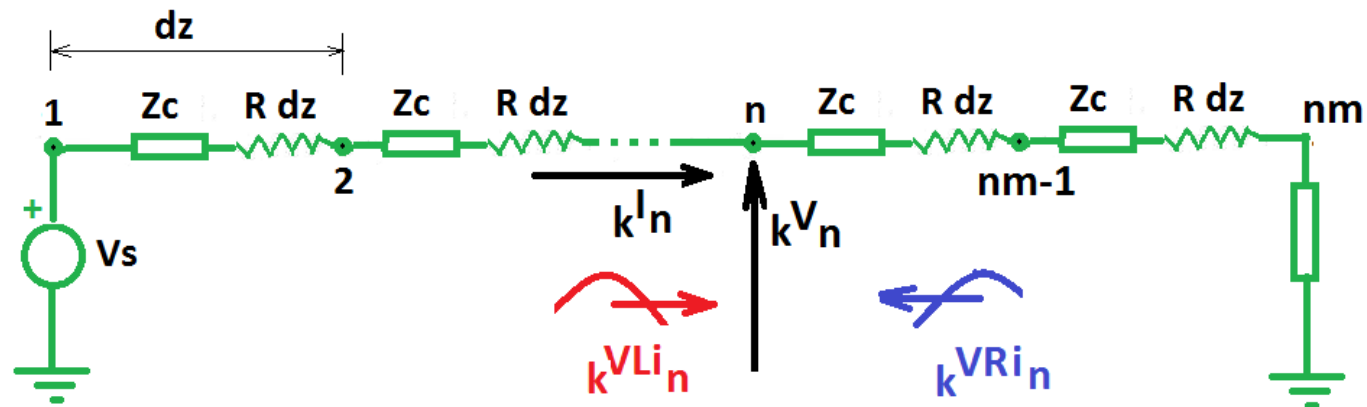
$V(n,k)$  = tensão resultante sobre o nó “n”.

$i(n,k)$  = corrente resultante sobre o nó “n”.

## TLM – considerações iniciais para o equacionamento

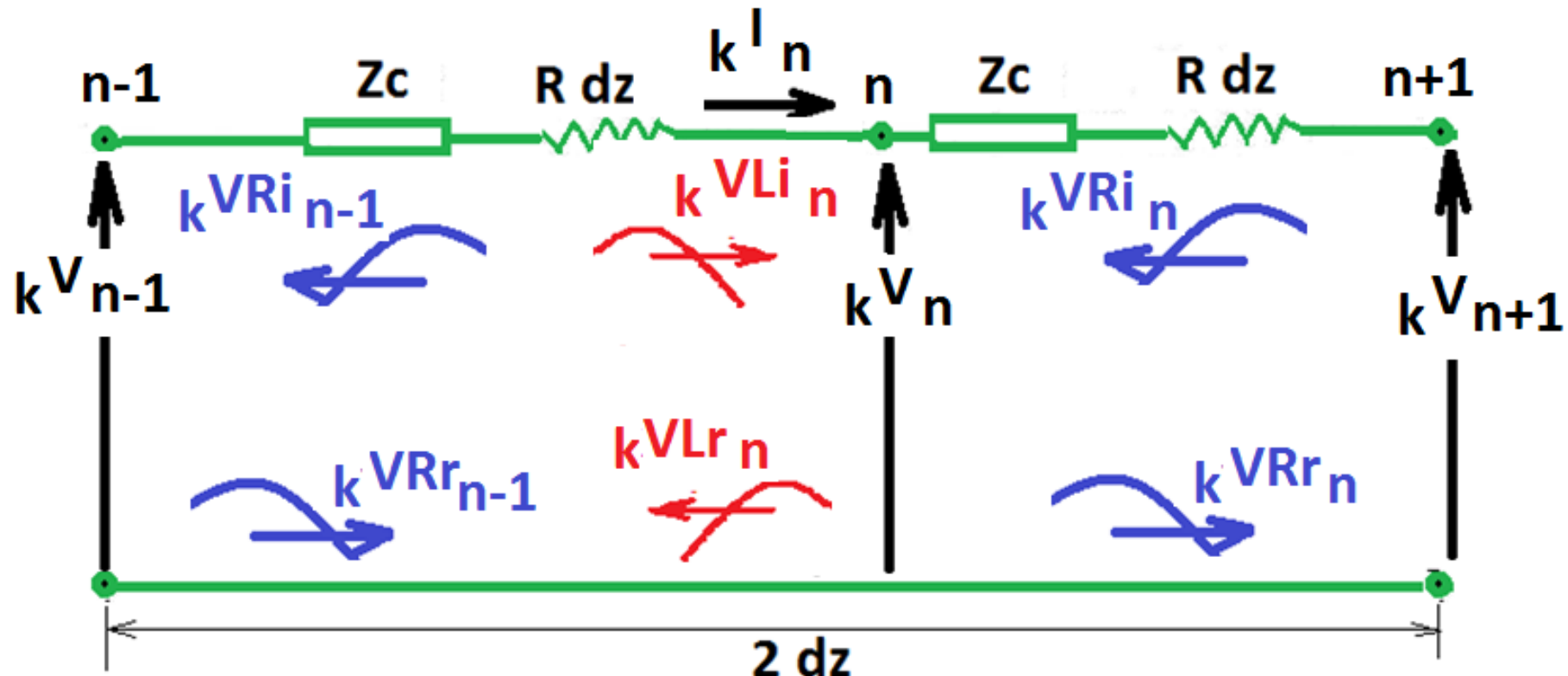
O equacionamento deve considerar as equações de tensões e correntes:

- 1) No início da LT – fonte, carga ou outra(s) LT(s)
- 2) Ao longo da LT – com ou sem perdas
- 3) No final da LT – fonte, carga ou outra(s) LT(s).



## TLM – considerações iniciais para o equacionamento

### TLM ao longo de uma LT – instante “k”



$kVRI_{n-1} \rightarrow$  Tensão incidente sobre o nó ( $n-1$ ) pela direita no instante  $k$

$kVLI_n \rightarrow$  Tensão incidente sobre o nó ( $n$ ) pela esquerda no instante  $k$

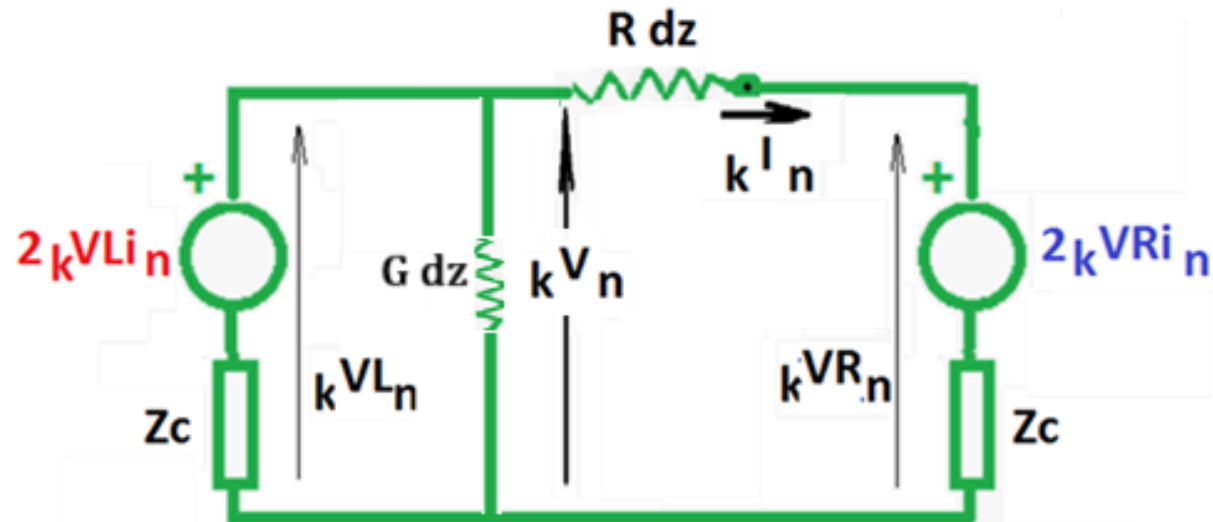
## TLM – considerações iniciais para o equacionamento

### TLM ao longo de uma LT – instante “k”

Equivalente Thevenin

Lado esquierdo

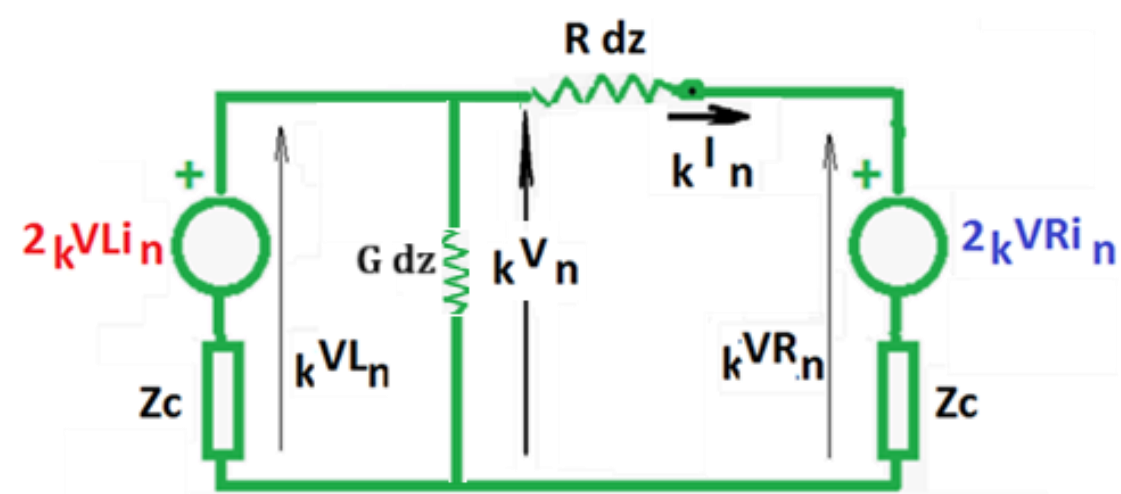
Lado direito



Equivalente Thevenin é obtido considerando um segmento da LT aberta →  
 $I = 0$  na ponta oposta, e  $V = 2V^+$

$V^+$  = tensão incidente pela esquerda ou pela direita

## Equacionamento TLM ao longo de uma LT – instante “k”



$$kV_n = \frac{\frac{2}{Z_C} kVL_n^i + \frac{2}{Z_C + R} kVR_n^i}{\frac{1}{Z_C} + \frac{1}{R + Z_C} + G}$$

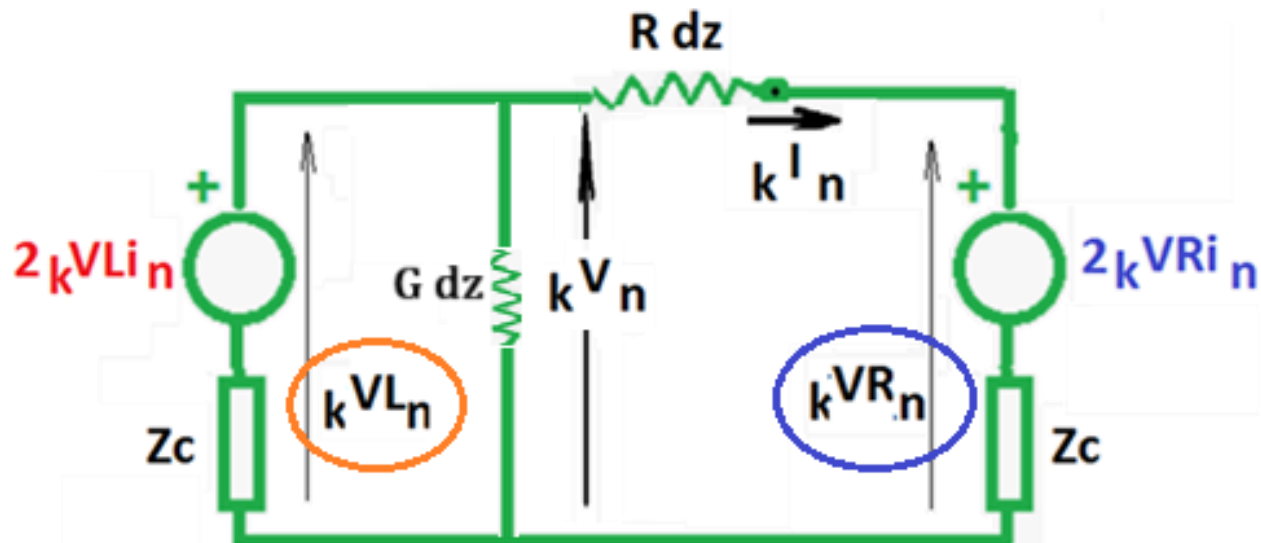
$$kI_n = \frac{kV_n - 2 \frac{kVR_n^i}{R + Z_C}}{R + Z_C}$$

**VLi(n,k)**: Tensão incidente da esquerda no instante  $k\Delta t$ .

**VRi(n,k)**: Tensão incidente da direita no instante  $k\Delta t$ .

## Equacionamento TLM ao longo de uma LT – instante “k”

Tensão resultante na entrada do nó “n”, à esquerda e à direita:



$$kVL_n = kV_n$$

$$kVR_n = 2kVR_n^i + kI_n Z_c$$

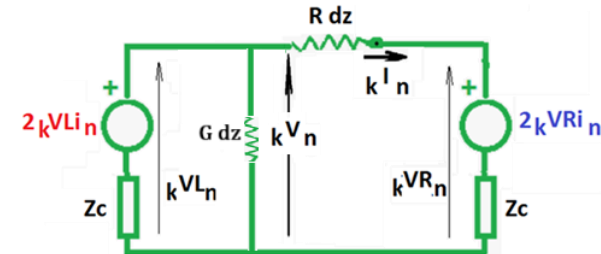
## Equacionamento TLM ao longo de uma LT – instante “k”

Tensão resultante pela **esquerda** do nó n:

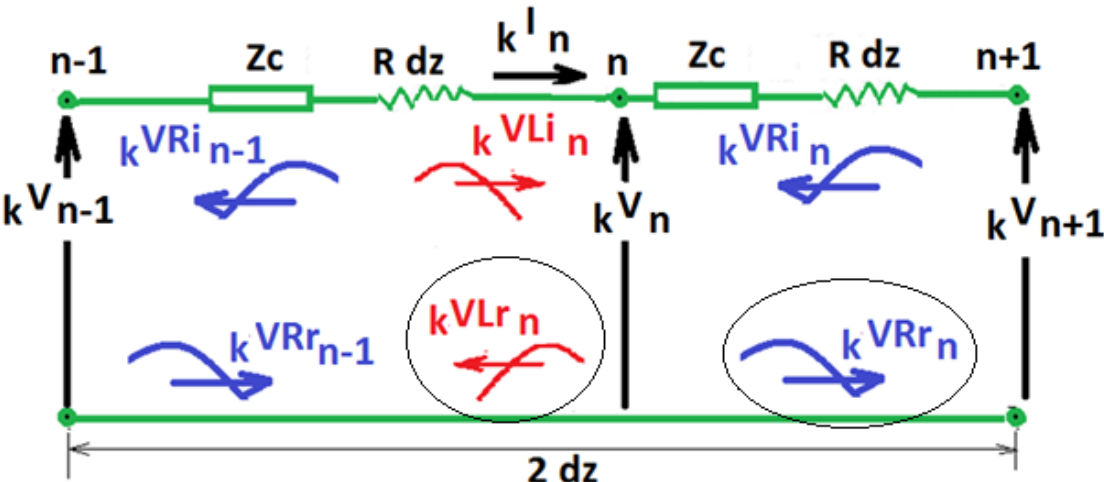
$$kVL_n = kVL_n^r + kVL_n^i$$

Tensão resultante pela **direita** do nó n :

$$kVR_n = kVR_n^r + kVR_n^i$$



Tensões **refletidas** para a **esquerda** e para a **direita** do nó “n”:

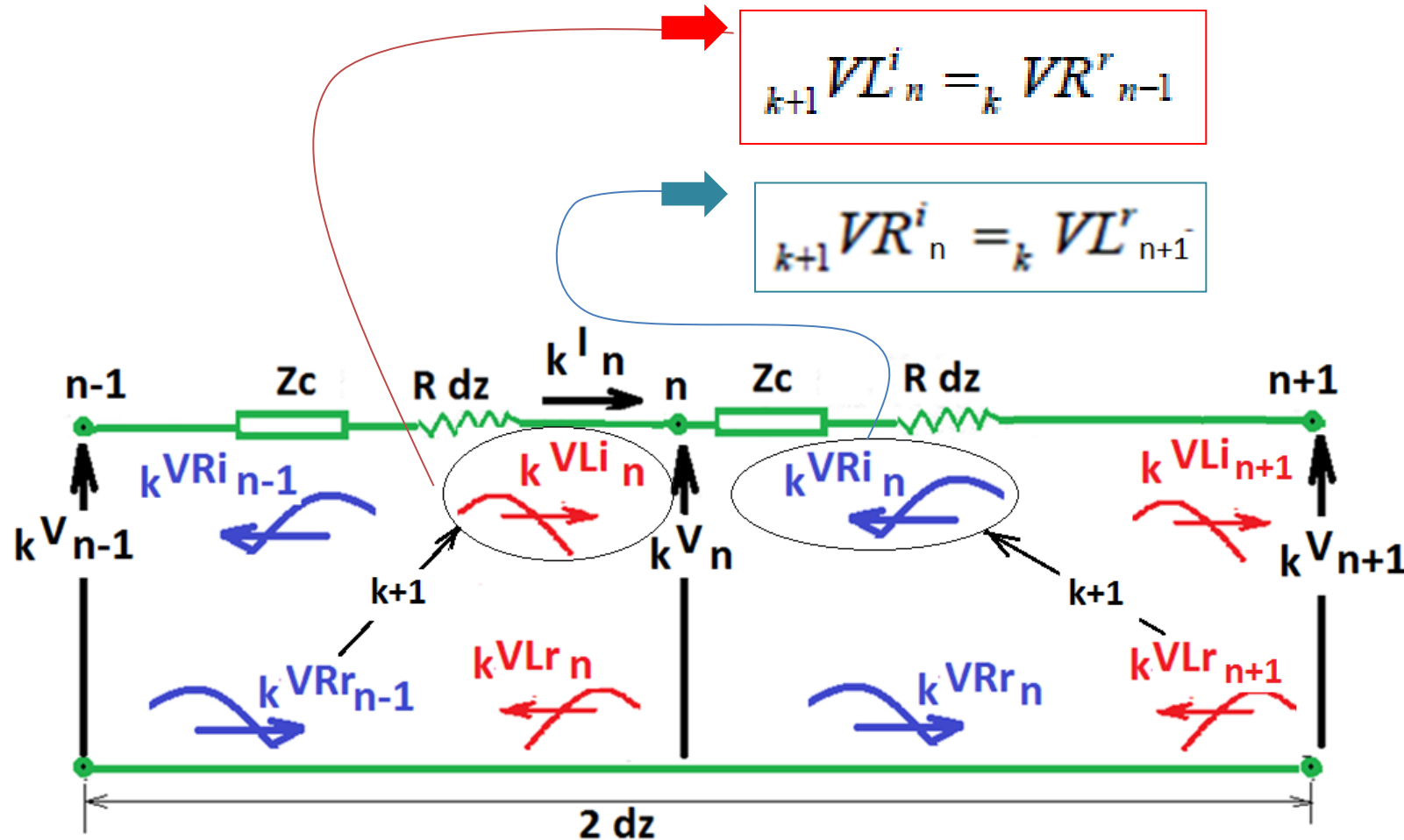


$$kVL_n^r = kVL_n - kVL_n^i$$

$$kVR_n^r = kVR_n - kVR_n^i$$

## Equacionamento TLM ao longo de uma LT – instante “k+1”

Novas tensões incidentes (processo iterativo), no instante  $k+1$ :



## Equacionamento TLM ao longo de uma LT Resumo do equacionamento

Instante “k”

$$_k V_n = \frac{\frac{2}{k} VL_n^i + \frac{2}{k} VR_n^i}{\frac{1}{Z_c} + \frac{1}{R + Z_c} + G} \quad (1)$$

$$_k VL_n =_k V_n \quad (3)$$

$$_k VR_n = 2_k VR_n^i +_k I_n Z_0 \quad (4)$$

$$_k VL_n^r =_k VL_n -_k VL_n^i \quad (5)$$

$$_k VR_n^r =_k VR_n -_k VR_n^i \quad (6)$$

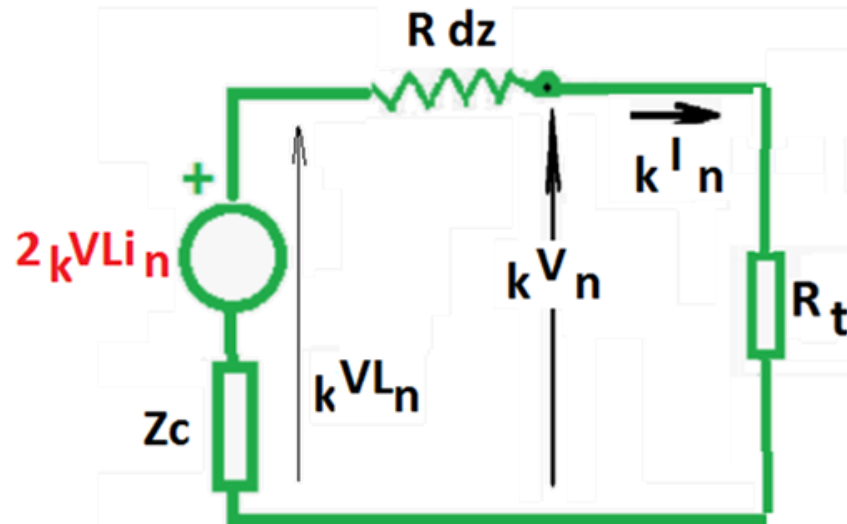
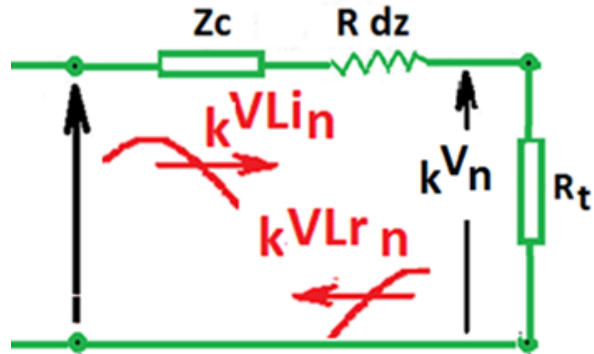
$$_k I_n = \frac{_k V_n - 2_k VR_n^i}{R + Z_c} \quad (2)$$

Instante “k+1”

$$_{k+1} VL_n^i =_k VR_{n-1}^r \quad (7)$$

$$_{k+1} VR_n^i =_k VL_{n+1}^r \quad (8)$$

Nas terminações (contorno) – suponto uma carga “ $R_t$ ”  
Instante “ $k$ ”



Segmento nos terminais da LT, e o equivalente Thevenin.  
(não existe, obviamente, tensões incidentes pela direita  $VR_i$ ).

## Equacionamento TLM – Linha terminada em $R_t$

Intante “k”:

$$_k I_n = \frac{2 \cdot {}_k VL^i_n}{R_t + Z_c} \quad (9)$$

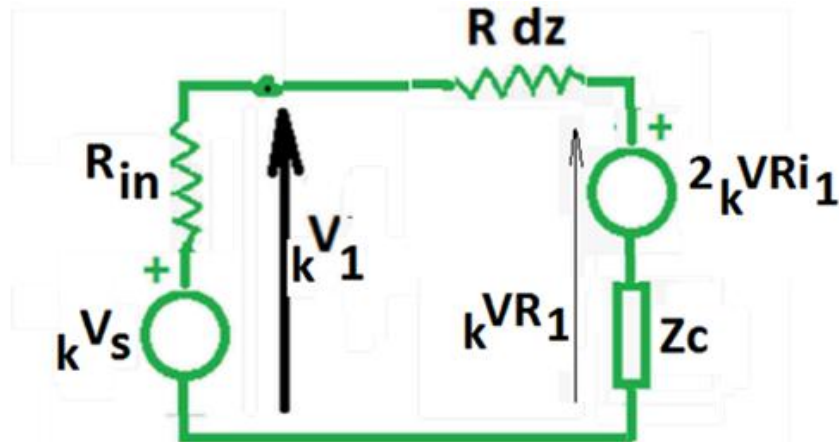
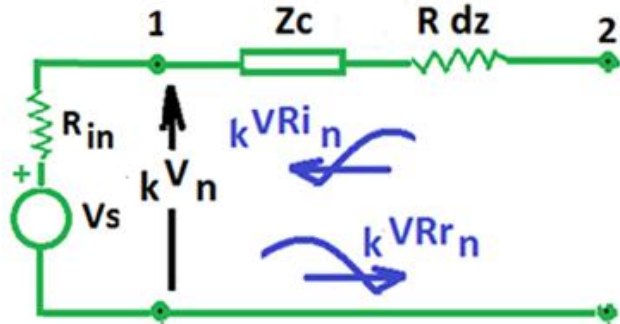
$$_k V_n = R_t \cdot {}_k I_n \quad (10)$$

$$_k VL^r_n = {}_k V_n - {}_k VL^i_n \quad (11)$$

Intante “k+1”:

$$_{k+1} VL^i_n = {}_k VR^r_{n-1} \quad (12)$$

## Equacionamento TLM – Linha terminada numa fonte $V_s$



Segmento nos terminais da LT, e o equivalente Thevenin.  
(não existe, obviamente, tensões incidentes pela esquerda  $V_{Li}$ ).

## Equacionamento TLM – Linha terminada numa fonte $V_s$

Instante “k”:

$$_k V_1 = \frac{\frac{_k V_s}{R_s} + \frac{2}{_k} VR_1^i}{\frac{1}{R_s} + \frac{1}{R + Z_0}}$$

$$_k V_s = \text{tensão da fonte}$$

$$R_s = \text{resistência interna da fonte.}$$

(13)

$$_k I_1 = \frac{_k V_1 - 2 VR_1^i}{R + Z_0}$$

(14)

$$_k VR_1 = 2 VR_1^i + _k I_1 Z_0$$

(15)

$$_k VR^r_1 = _k VR_1 - _k VR^i_1$$

(16)

Instante “k+1”:

$$_{k+1} VR^i_1 = _k VL^r_2$$

(17)

## Aplicação

Teste o código MATLAB/OCTAVE a seguir

## TLM em 1D – MATLAB

```
clear all; close all; clc;
```

### % Parâmetros da linha de transmissão

```
jm = 200; % Número de nós da linha
j = 1:jm;

compr = 15; % Comprimento da linha
dx = compr./jm; % Incremento espacial

v = 3e8; % Velocidade da luz
tal = dx/v; % Incremento temporal (dt)
R = 1e-3; % Resistência série
Zc = 50; % Impedância característica
Rin = 50; % Impedância interna da fonte
L = tal*Zc; % Indutância por seção
C = tal/Zc; % Capacitância por seção

% Parâmetros da frequência
f = 125e6; % Frequência
w = 2*pi*f; % Frequência angular
lambda = v/f; % Comprimento de onda
```

### % Resistência e indutância da carga:

```
XL = 0.01; % Reatância indutiva
LL = XL/w; % Indutância
RL = 0; % Resistência da carga
ZL = 2*LL/tal; % Impedância da carga
normalizada
```

### % Outros tipos de carga-----

#### % Carga resistiva casada:

```
%RL = Zc; XL = 0; ZL = 2*LL/tal;
```

#### % Carga indutiva maior:

```
%XL = 100; LL = XL/w; RL = 25; ZL = RL + 2*LL/tal;
```

#### % Circuito aberto:

```
RL = 1e12; XL = 0; ZL = RL;
```

#### % Curto-circuito:

```
%RL = 0; XL = 0; ZL = 0;
```

## TLM em 1D – MATLAB

### % Passo temporal

```
dt = tal;
```

### % Vetor de tempo

```
t = 0:tal:500*tal;
```

```
nn = length(t);
```

```
nm = nn;
```

```
nt = 1:nn;
```

### % Inicialização das variáveis TLM

```
vri(1:jk) = 0; % Pulso de tensão refletidos  
(direita)  
vli(1:jk) = 0; % Pulso de tensão refletidos  
(esquerda)  
vlr(1:jk) = 0; % Pulso de tensão espalhados  
(esquerda)  
vrr(1:jk) = 0; % Pulso de tensão espalhados  
(direita)  
v(1:jk) = 0; % Tensão nos nós  
i(1:jk,1:nm) = 0; % Corrente nos nós  
VL(1:jk,1:nm) = 0; % Matriz para armazenar  
tensões  
  
vfr = 0; % Variáveis auxiliares  
vfc = 0;
```

### % Loop principal no tempo

```
for n = 1:nn-1
```

```
    t_atual = n*dt;
```

### % Definindo tensão INTERNA da fonte (antes da resistência interna):

```
% Vsaida_desejada = 1876*( exp(-t_atual*1.e7/8.57)  
- exp(-t_atual*1.e7/0.3) );
```

% Pulso exponencial

```
% Vsaida_desejada = 200*sin(w*t_atual); %  
Senoidal
```

```
Vsaida_desejada = 1; % Degrau
```

```
% Vsaida_desejada = 2*38*( exp(-t_atual*0.08e6) -  
exp(-t_atual*5.6e6) );
```

% Outro pulso

```
% Impedância total vista pelo primeiro nó  
Z_total = R + Zc; % Impedância da linha
```

## TLM em 1D – MATLAB

```
% Tensão no primeiro nó considerando divisor de tensão
entre Rin e Z_total
% e os pulsos refletidos do TLM
vfonte_interna = Vsaída_desejada * (Rin + R + Zc) / (R +
Zc); % Tensão interna calculada
numerador = vfonte_interna/Rin + 2*vri(1)/Z_total;
denominador = 1/Rin + 1/Z_total;
v(1) = numerador/denominador;
% Corrente no primeiro nó
i(1,n) = (v(1) - 2*vri(1))/Z_total;

% Salvar valores para gráficos
VL(1,n) = v(1);

% Ao longo da linha (nós intermediários)
for j = 2:jm-1
    v(j) = (2*vli(j)/Zc+2*vri(j)/(Zc+R))/(1/Zc+1/(Zc+R));
    i(j,n) = (v(j) - 2*vri(j))/(R+Zc);
    vlr(j) = v(j) - vli(j); % Espalhamento para a
    % esquerda
    vrr(j) = vri(j) + Zc*i(j,n); % Espalhamento para a
    % direita
    % Salvar valores
    VL(j,n) = v(j);
end
```

```
% Final da linha (nó jm) - Terminação com impedância ZL
v(jm) = (2*vli(jm)/Zc)/(1/Zc + 1/(RL+ZL));
i(jm,n) = (v(jm))/(RL+ZL+Zc);

% Espalhamento nas extremidades:
vrr(1) = vri(1) + Z_total*i(1,n); % Espalhamento no
início
vlr(jm) = v(jm) - vli(jm); % Espalhamento no final

% Conexões (propagação dos pulsos):
vri(1) = vlr(2); % Pulso vindo da direita para o
nó 1
vli(jm) = vrr(jm-1); % Pulso vindo da esquerda
para o nó jm

VL(jm,n) = v(jm);

% Conexões internas (propagação entre nós
adjacentes)
for j = 2:jm-1
    vli(j) = vrr(j-1); % Pulso vindo da esquerda
    vri(j) = vlr(j+1); % Pulso vindo da direita
end
end
```

## TLM em 1D – MATLAB

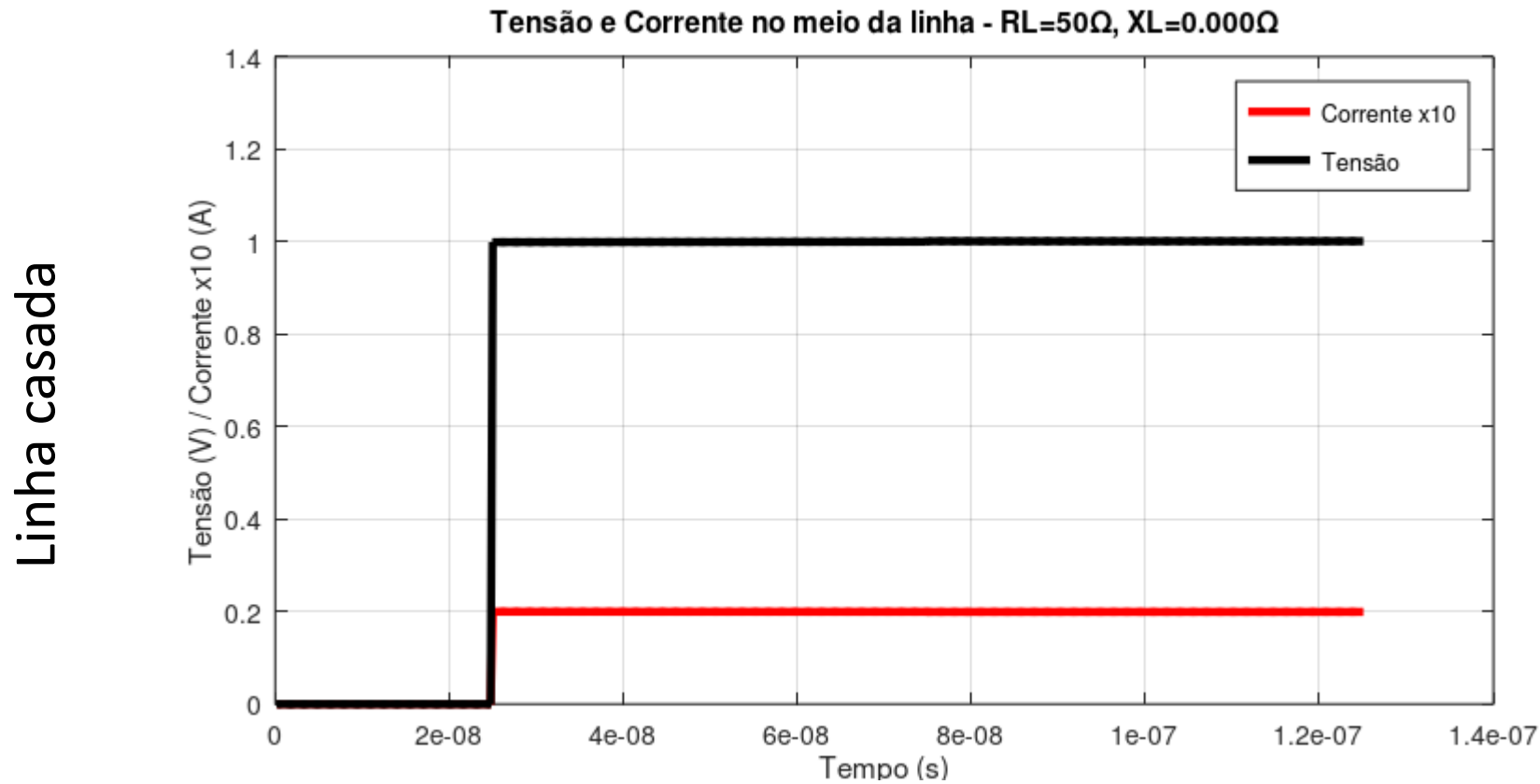
```
% Cálculo da tensão de saída teórica da fonte para
verificação
vini_teorico = vfonte_interna * (R + Zc) / (Rin + R + Zc);
fprintf('Tensão interna da fonte: %.1f V\n',
vfonte_interna);
fprintf('Tensão de saída teórica da fonte: %.1f V\n',
vini_teorico);
fprintf('Tensão simulada no primeiro nó (regime
permanente): %.1f V\n', VL(1,end-1));
```

### % SAIDA EM GRAFICOS:

```
% Configuração do tamanho das fontes
tamanho_fonte = 14;      % Tamanho da fonte para
textos
tamanho_legenda = 12;    % Tamanho da fonte para
legendas
tamanho_titulo = 16;     % Tamanho da fonte para
títulos
```

```
% Gráfico de corrente (x10) e tensão no meio da linha:
figure(1);
plot((1:nm-1)*dt, i(jm/2,1:nm-1)*10, 'r', 'LineWidth', 2)
hold on
plot((1:nm-1)*dt, VL(jm/2,1:nm-1), 'k', 'LineWidth', 2)
xlabel('Tempo (s)', 'FontSize', tamanho_fonte)
ylabel('Tensão (V) / Corrente x10 (A)', 'FontSize',
tamanho_fonte)
legend('Corrente x10', 'Tensão', 'Location', 'best',
'FontSize', tamanho_legenda)
%title('Tensão e Corrente no meio da linha de
transmissão', 'FontSize', tamanho_titulo)
title(sprintf('Tensão e Corrente no meio da linha -
RL=%0.0fΩ, XL=%3.0fΩ', RL, XL), 'FontSize',
tamanho_titulo)
set(gca, 'FontSize', tamanho_fonte)
grid on
```

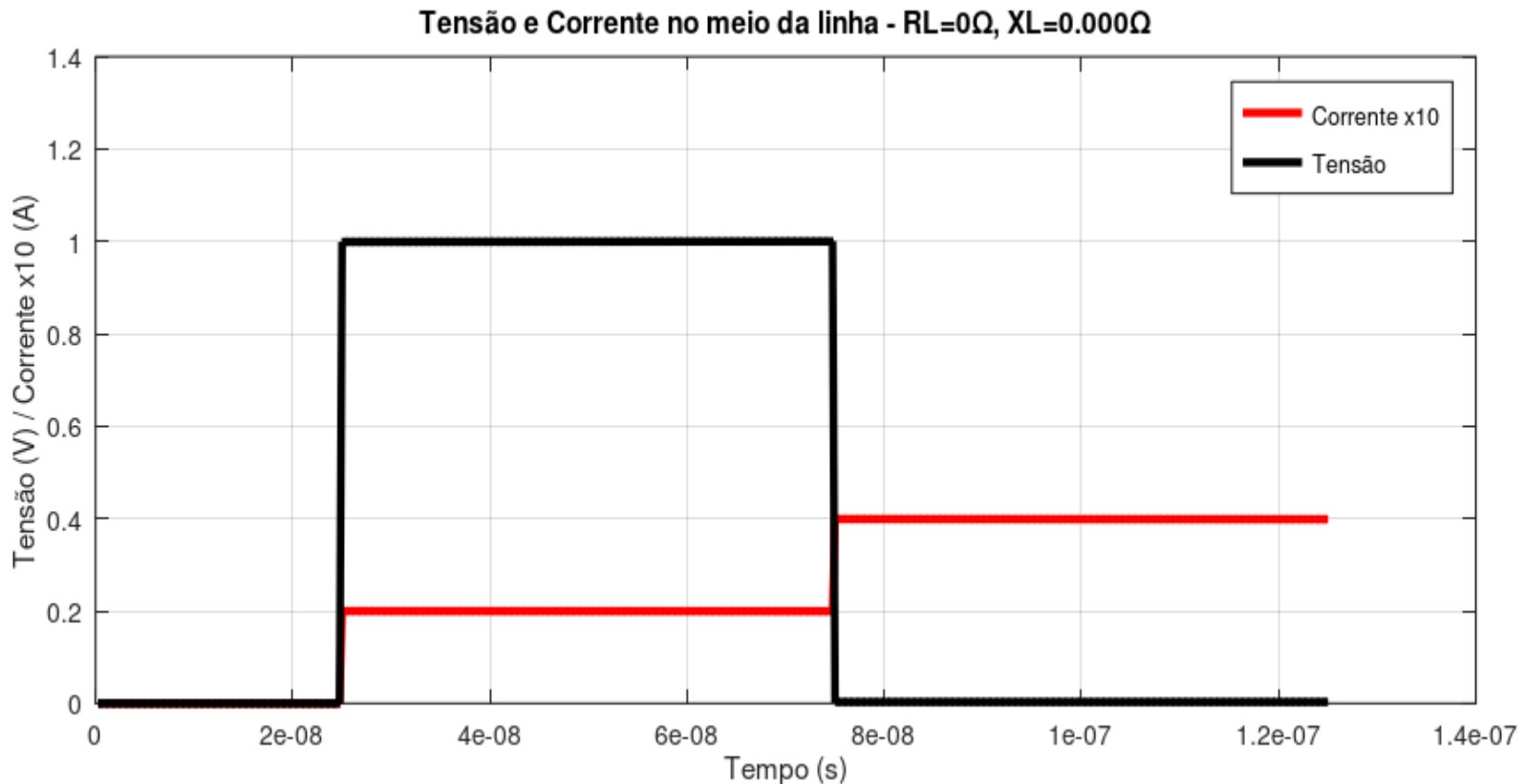
## Exemplo: Resposta ao degrau unitário de uma linha de 15,0m; $Z_C = 50 \Omega$



Obs.:  $\frac{v(t)}{i(t)} = Z_C$  em qualquer posição da linha.

## Exemplo: Resposta ao degrau unitário de uma linha de 10,0m; $Z_C = 50 \Omega$

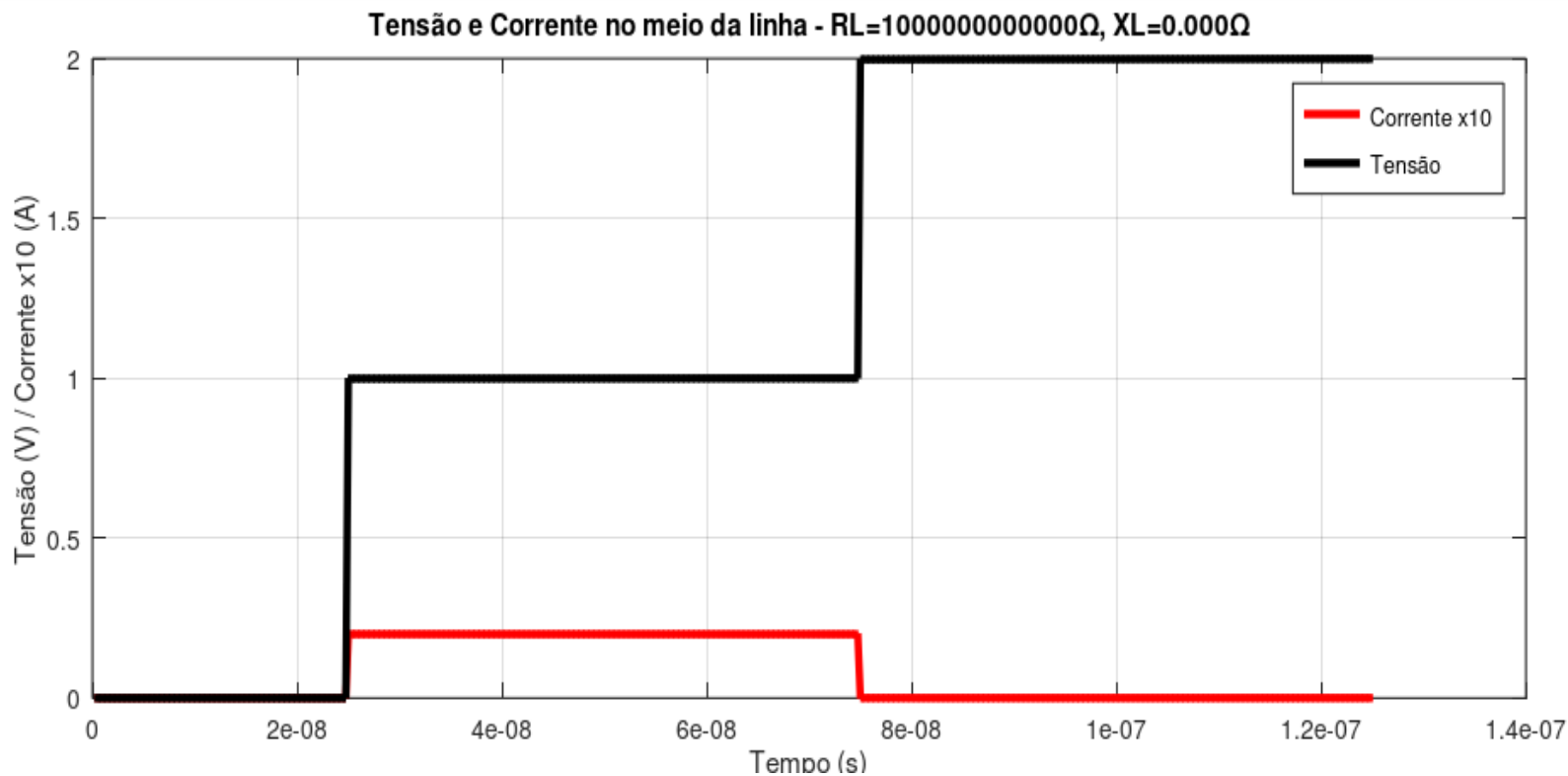
Linha em curto-círcuito



Obs.:  $\frac{v(t)}{i(t)} = Z_C$  para  $25 \text{ ns} < t < 75 \text{ ns}$  e  $\frac{v(t)}{i(t)} = 0$ , para  $t > 75 \text{ ns}$ .

## Exemplo: Resposta ao degrau unitário de uma linha de 15,0m; $Z_C = 50 \Omega$

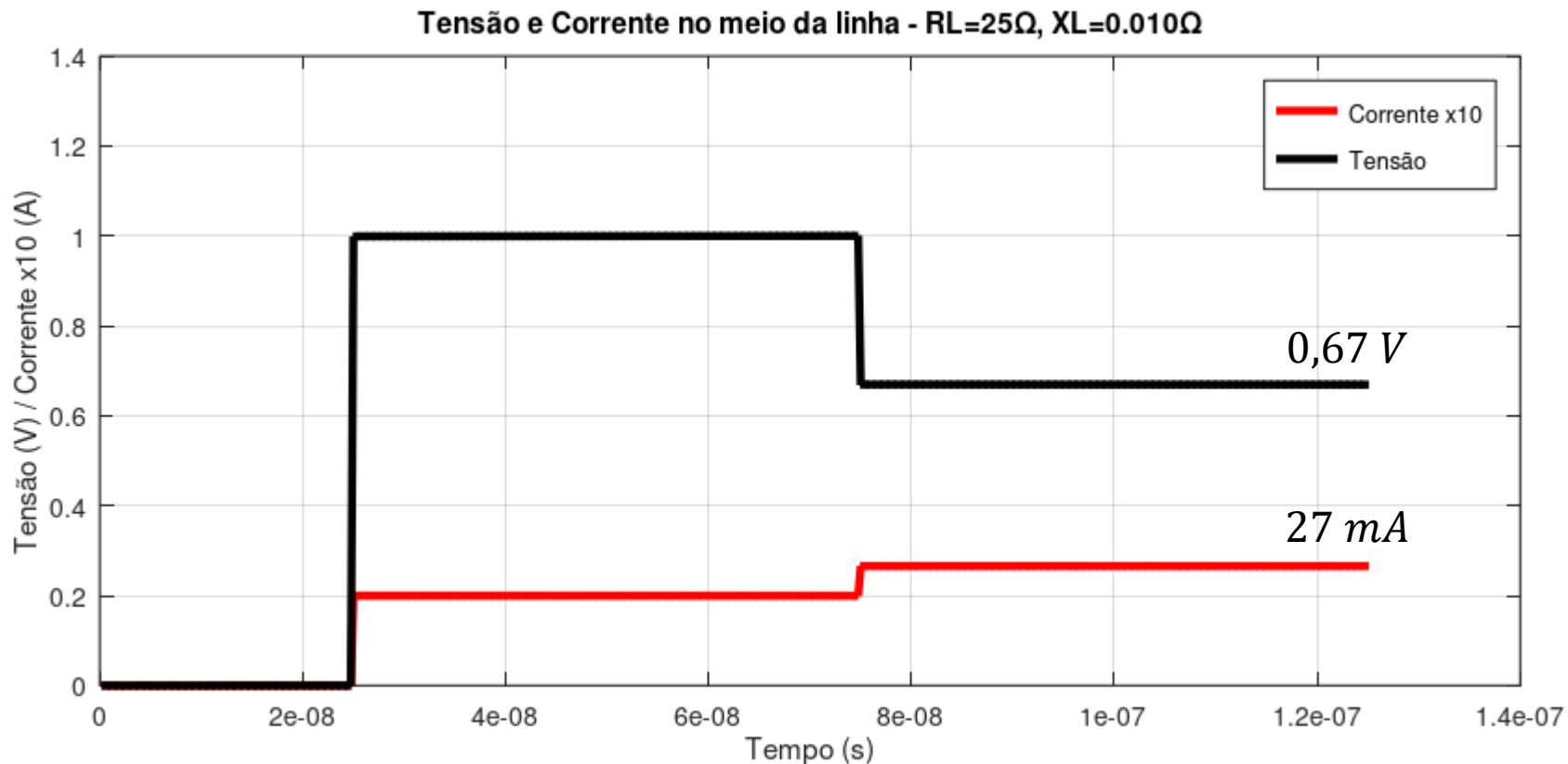
Linha aberta



Obs.:  $\frac{v(t)}{i(t)} = Z_C$  para  $25 \text{ ns} < t < 75 \text{ ns}$  e  $\frac{v(t)}{i(t)} = \infty$ , para  $t > 75 \text{ ns}$ .

## Exemplo: Resposta ao degrau unitário de uma linha de 15,0m; $Z_c = 50 \Omega$

Linha terminada numa carga de  $25\Omega$



$$\text{Obs.: } K_V = \frac{25-50}{25+50} = -0,33 \rightarrow V_{CARGA} = 1 + (-0,33) \times 1 = 0,67 V$$

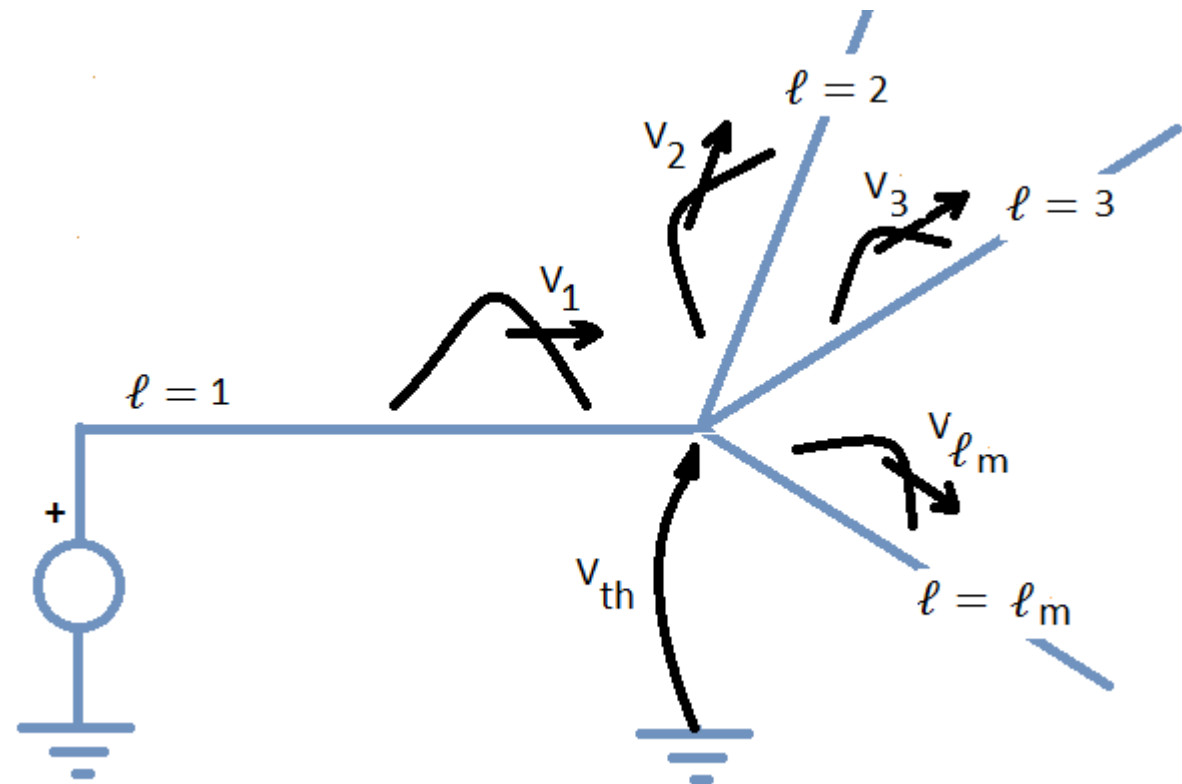
## Condições de contorno para nó contendo múltiplas LTs

O método oferece a simplicidade no tratamento de sinais, mantendo a dimensão 1D e o desempenho computacional.

Consiste em:

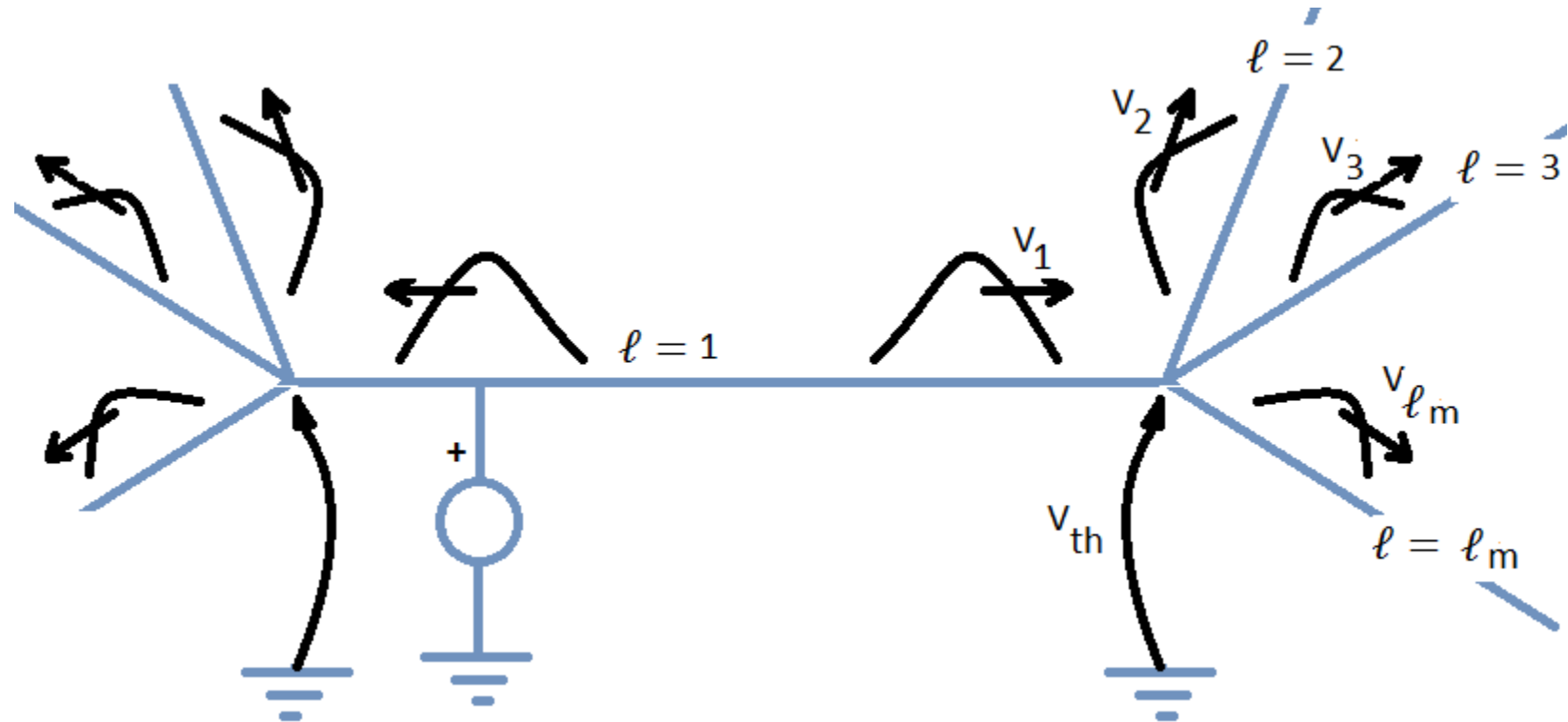
- Alterar as condições do contorno no nó da ponta que possui mais que uma LT, considerando a impedância equivalente do paralelo da impedância característica das demais LTs.

- Alterar as condições de contorno no nó da ponta de cada uma das demais LTs, considerando o sinal transmitido pela LT anterior.



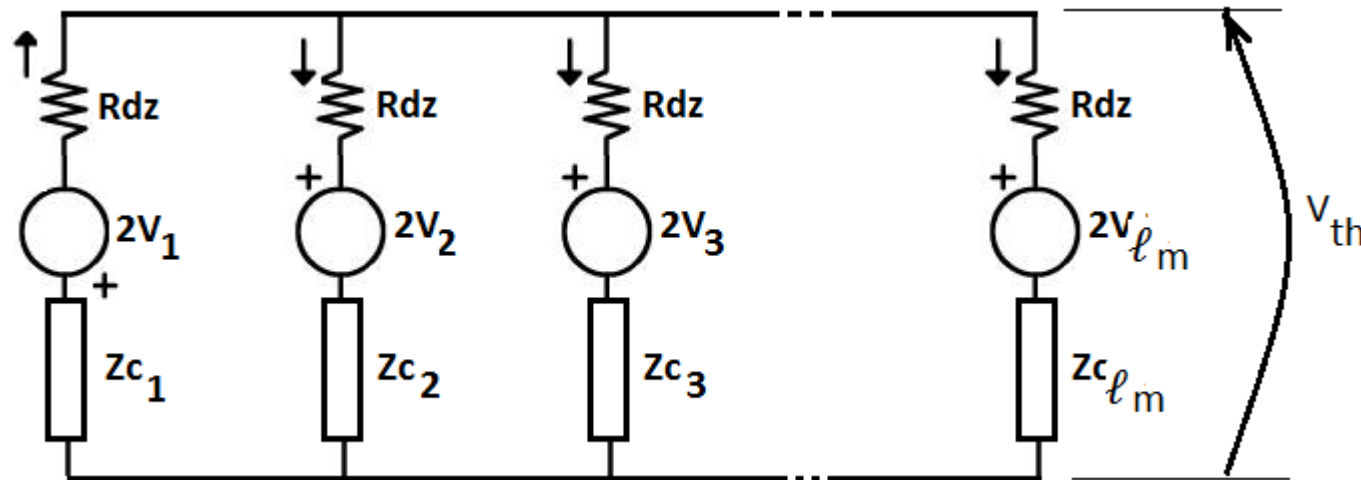
## Contorno contendo múltiplas LTs

Ou ... Etc. etc. etc.



## TLM no contorno contendo múltiplas LTs

Equivalente Thevenin no contorno de múltiplas linhas,  
cada uma com impedância característica  $Z_{C_\ell}$



## Contorno contendo múltiplas LTs

No nó de junção, a matriz de espalhamento é dada pela expressão

$$[V_\ell^r]_k = [S_k] [V_\ell^i]_k$$

$$S_k = \begin{bmatrix} \frac{Z_p^1 - Z_{c_1}}{Z_p^1 + Z_{c_1}} & \frac{Z_{c_2} - Z_p^2}{Z_p^2 + Z_{c_2}} & \dots & \frac{Z_{c_{lm}} - Z_p^{lm}}{Z_p^{lm} + Z_{c_{lm}}} \\ \vdots & \ddots & \vdots & \vdots \\ \frac{Z_{c_{lm}} - Z_p^{lm}}{Z_p^{lm} + Z_{c_{lm}}} & \dots & \frac{Z_p^{lm} - Z_{c_{lm}}}{Z_p^{lm} + Z_{c_{lm}}} & \dots \end{bmatrix}$$

$[V_\ell^i]_k$  = matriz de tensões incidentes (diretas) sobre a linha  $\ell$  no instante  $k\Delta t$ .

$[V_\ell^r]_k$  = matriz de tensões refletidas para a  $\ell$  no instante  $k\Delta t$ .

$\ell_m$  = número de linhas conectadas ao nó.

$Z_p^\ell$  = impedância equivalente do paralelo das impedâncias características das linhas adjacentes à linha  $\ell$ .

## Aplicação 3D

Teste o código 3D-TLM.cc (c++, disponível em arquivo compactado)  
Ou e-mail: [g.caixeta@ieee.org](mailto:g.caixeta@ieee.org)

Dr. W.J.R. Hoefer  
Department of Electrical and Computer Engineering  
University of Victoria  
Victoria, British Columbia  
Canada, V8W 3P6

## Expressões Algébricas para campo eletromagnético no domínio do tempo e em coordenadas Cartesianas

Em casos de transitórios de sinais e de fenômenos não lineares, o estudo dos sinais no domínio do tempo se torna menos enfadonho e mais eficiente quando comparado com o domínio da frequência.

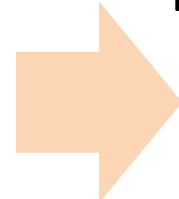
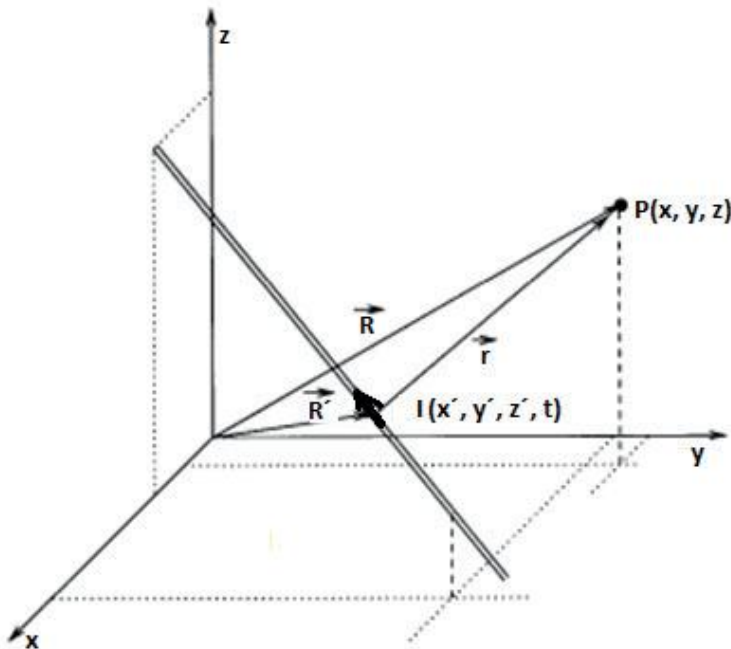
O sistema de coordenadas Cartesianas se justifica quando encontramos transitórios envolvendo geometrias mais complicadas.

As expressões analíticas para o cálculo do campo a partir do transitório de corrente elétrica se torna extremamente útil.

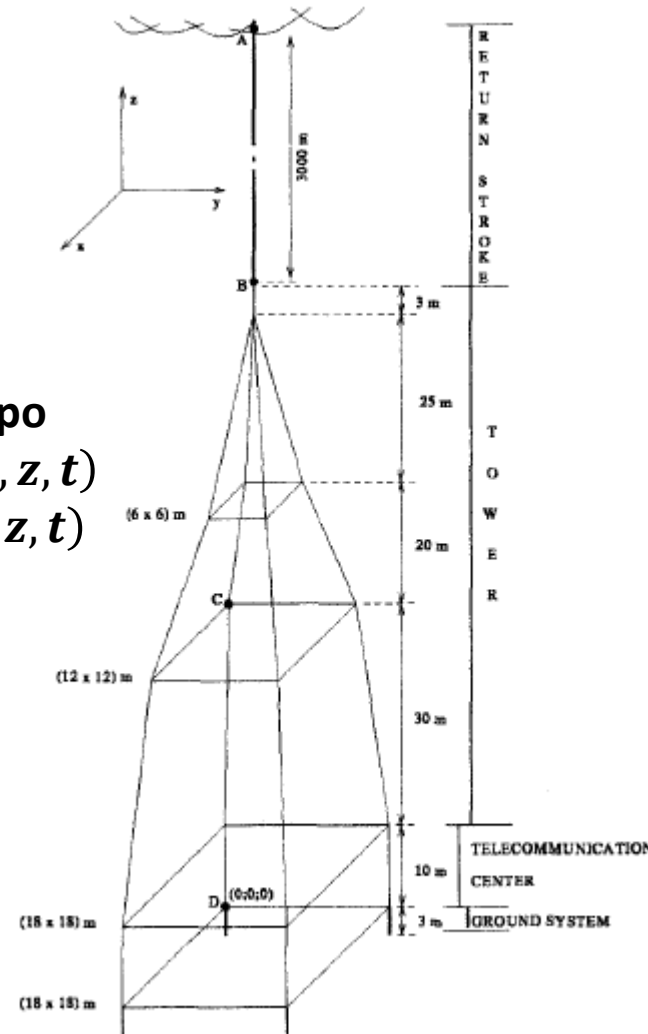
Com isso, podemos aplicar a técnica TLM 1D em conjunto com as expressões analíticas para conhecer o campo eletromagnético resultante em determinadas regiões do espaço, sem a necessidade de

## Expressões Algébricas para campo eletromagnético no domínio do tempo e em coordenadas Cartesianas

Segmento de um condutor disposto numa geometria qualquer...



**Campo**  
 $H(x, y, z, t)$   
 $E(x, y, z, t)$



## Campo Magnético $\mathbf{H}(x, y, z, t)$ :

$$\begin{aligned}
 \vec{H}(R, t) = & - \int \frac{1}{4\pi r^2} \left\{ \left[ \frac{(y - y')}{c} \frac{\partial i_z(r', t - \frac{r}{c})}{\partial t} + \frac{i_z(r', t - \frac{r}{c})}{r} \right] dz' \right. \\
 & \left. - \left[ \frac{(z - z')}{c} \frac{\partial i_y(r', t - \frac{r}{c})}{\partial t} + \frac{i_y(r', t - \frac{r}{c})}{r} \right] dy' \right\} \hat{a}_x \\
 & - \int \frac{1}{4\pi r^2} \left\{ \left[ \frac{(z - z')}{c} \frac{\partial i_x(r', t - \frac{r}{c})}{\partial t} + \frac{i_x(r', t - \frac{r}{c})}{r} \right] dx' \right. \\
 & \left. - \left[ \frac{(x - x')}{c} \frac{\partial i_z(r', t - \frac{r}{c})}{\partial t} + \frac{i_z(r', t - \frac{r}{c})}{r} \right] dz' \right\} \hat{a}_y \\
 & - \int \frac{1}{4\pi r^2} \left\{ \left[ \frac{(x - x')}{c} \frac{\partial i_y(r', t - \frac{r}{c})}{\partial t} + \frac{i_y(r', t - \frac{r}{c})}{r} \right] dy' \right. \\
 & \left. - \left[ \frac{(y - y')}{c} \frac{\partial i_x(r', t - \frac{r}{c})}{\partial t} + \frac{i_x(r', t - \frac{r}{c})}{r} \right] dx' \right\} \hat{a}_z
 \end{aligned}$$

# IT-309 – Tópicos em Sistemas de Energia Elétrica

José Pissolato Filho / Geraldo Peres Caixeta – 2025



**Campo Elétrico  $E(x, y, z, t)$ :**

$$\vec{E}(R, t) = \int_R dE_x(R, t) \hat{a}_x + \int_R dE_y(R, t) \hat{a}_y + \int_R dE_z(R, t) \hat{a}_z$$

$$4\pi\epsilon_0 dE_x(R, t) =$$

$$= \left\{ \left[ \frac{3(x-x')^2}{r^4 c} - \frac{1}{r^2 c} \right] i_x \left( r', t - \frac{r}{c} \right) + \left[ \frac{(x-x')^2}{r^3 c^2} - \frac{1}{rc^2} \right] \frac{\partial i_x \left( r', t - \frac{r}{c} \right)}{\partial t} \right. \\ \left. + \left[ \frac{3(x-x')^2}{r^5} - \frac{1}{r^3} \right] \int_0^t i_x \left( r', t - \frac{r}{c} \right) d\tau \right\} dx'$$

$$+ \left\{ \frac{3(x-x')(y-y')}{r^4 c} i_y \left( r', t - \frac{r}{c} \right) + \frac{(y-y')(x-x')}{r^3 c^2} \frac{\partial i_y \left( r', t - \frac{r}{c} \right)}{\partial t} \right. \\ \left. + \frac{3(x-x')(y-y')}{r^5} \int_0^t i_y \left( r', t - \frac{r}{c} \right) d\tau \right\} dy'$$

$$+ \left\{ \frac{3(x-x')(z-z')}{r^4 c} i_z \left( r', t - \frac{r}{c} \right) + \frac{(z-z')(x-x')}{r^3 c^2} \frac{\partial i_z \left( r', t - \frac{r}{c} \right)}{\partial t} \right. \\ \left. + \frac{3(x-x')(z-z')}{r^5} \int_0^t i_z \left( r', t - \frac{r}{c} \right) d\tau \right\} dz'$$

Componente “y” do campo elétrico

$$\begin{aligned}
 4\pi\epsilon_0 dE_y(R, t) = & \left\{ \frac{3(x-x')(y-y')}{r^4 c} i_x\left(r', t - \frac{r}{c}\right) + \frac{(y-y')(x-x')}{r^3 c^2} \frac{\partial i_x\left(r', t - \frac{r}{c}\right)}{\partial t} \right. \\
 & \left. + \frac{3(x-x')(y-y')}{r^5} \int_0^t i_x\left(r', t - \frac{r}{c}\right) d\tau \right\} dx' \\
 & + \left\{ \left[ \frac{3(y-y')^2}{r^4 c} - \frac{1}{r^2 c} \right] i_y\left(r', t - \frac{r}{c}\right) + \left[ \frac{(y-y')^2}{r^3 c^2} - \frac{1}{rc^2} \right] \frac{\partial i_y\left(r', t - \frac{r}{c}\right)}{\partial t} \right. \\
 & \left. + \left[ \frac{3(y-y')^2}{r^5} - \frac{1}{r^3} \right] \int_0^t i_y\left(r', t - \frac{r}{c}\right) d\tau \right\} dy' \\
 & + \left\{ \frac{3(y-y')(z-z')}{r^4 c} i_z\left(r', t - \frac{r}{c}\right) + \frac{(z-z')(y-y')}{r^3 c^2} \frac{\partial i_z\left(r', t - \frac{r}{c}\right)}{\partial t} \right. \\
 & \left. + \frac{3(y-y')(z-z')}{r^5} \int_0^t i_z\left(r', t - \frac{r}{c}\right) d\tau \right\} dz'
 \end{aligned}$$

$$4\pi\epsilon_0 dE_z(R, t) =$$

$$\left\{ \frac{3(x-x')(z-z')}{r^4 c} i_x\left(r', t - \frac{r}{c}\right) + \frac{(z-z)(x-x')}{r^3 c^2} \frac{\partial i_x\left(r', t - \frac{r}{c}\right)}{\partial t} \right. \\ \left. + \frac{3(x-x')(z-z')}{r^5} \int_0^t i_x\left(r', t - \frac{r}{c}\right) d\tau \right\} dx'$$

$$+ \left\{ \frac{3(y-y')(z-z')}{r^4 c} i_y\left(r', t - \frac{r}{c}\right) + \frac{(z-z')(y-y')}{r^3 c^2} \frac{\partial i_y\left(r', t - \frac{r}{c}\right)}{\partial t} \right. \\ \left. + \frac{3(y-y')(z-z')}{r^5} \int_0^t i_y\left(r', t - \frac{r}{c}\right) d\tau \right\} dy'$$

$$+ \left\{ \left[ \frac{3(z-z')^2}{r^4 c} - \frac{1}{r^2 c} \right] i_z\left(r', t - \frac{r}{c}\right) + \left[ \frac{(z-z')^2}{r^3 c^2} - \frac{1}{rc^2} \right] \frac{\partial i_z\left(r', t - \frac{r}{c}\right)}{\partial t} \right. \\ \left. + \left[ \frac{3(z-z')^2}{r^5} - \frac{1}{r^3} \right] \int_0^t i_z\left(r', t - \frac{r}{c}\right) d\tau \right\} dz'$$

## Expressões Algébricas para campo eletromagnético no domínio do tempo e em coordenadas Cartesianas

### Considerações sobre as equações acima

- 1) Em cada componente vetorial do campo elétrico estão presentes os termos de Campo Próximo, Campo Irradiado e Campo Distante.
  - i. Campo Próximo  $\rightarrow$  Campo Eletrostático: expressos em função da carga – integrais temporais da corrente:

$$\int_0^t i_x \left( \mathbf{r}', t - \frac{r}{c} \right) d\tau \text{ (C)},$$

$\rightarrow$  são funções inversamente proporcional ao cubo da distância  $1/r^3$ .

## Expressões Algébricas para campo eletromagnético no domínio do tempo e em coordenadas Cartesianas

### Considerações sobre as equações acima

ii. Campo indutivo: expressos em função direta da corrente:

$$\mathbf{i}(\mathbf{r}', t - \mathbf{r}/c) \quad (\mathbf{A})$$

→ são funções inversamente proporcional ao quadrado da distância  $1/r^2$ .

iii. Campo Distante → Campo Irradiado: expressos em função da derivada da corrente no tempo:

$$\frac{\partial \mathbf{i} \left( \mathbf{r}', t - \frac{\mathbf{r}}{c} \right)}{\partial t} \quad (\mathbf{A}/s)$$

→ são funções inversamente proporcional à distância  $1/r$ .

## Expressões Algébricas para campo eletromagnético no domínio do tempo e em coordenadas Cartesianas

### Considerações sobre as equações acima

iv. As expressões da intensidade de campo magnético, possui apenas as componentes em função direta da corrente elétrica e de sua derivada no tempo.

A ausência de componente em função da integral da corrente no tempo - relacionada ao conceito de carga elétrica, é obviamente justificada pela própria lei de Faraday.

## Expressões Algébricas para campo eletromagnético no domínio do tempo e em coordenadas Cartesianas

**Exemplo – Descarga na EPDA de uma torre com 85m de altura (1997):**

Caso 1: Descarga incidindo diretamente no ponto **B(9, 9, 85)** da EPDA.

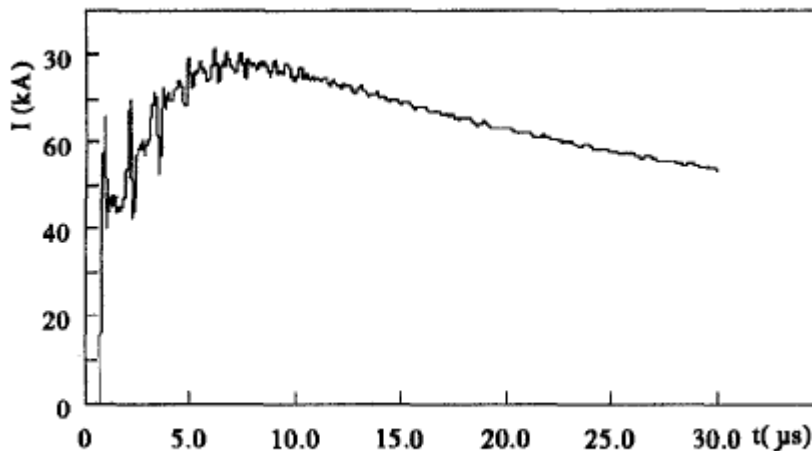
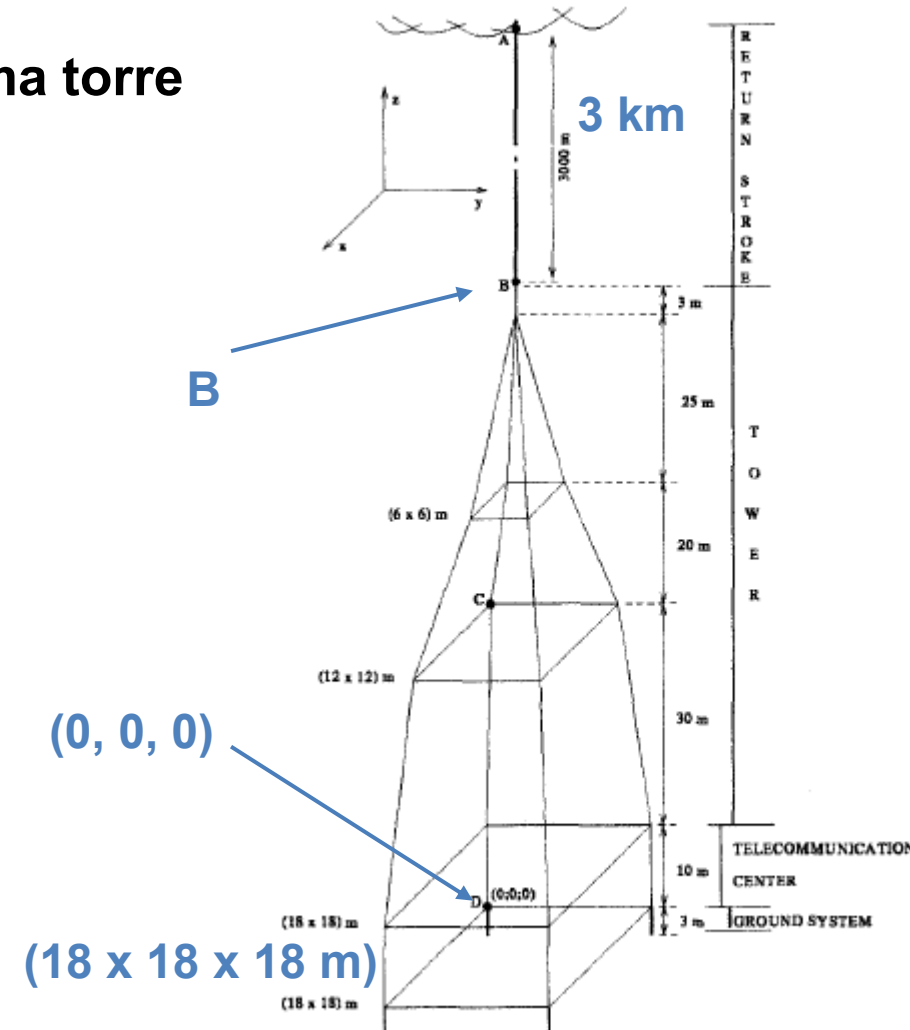


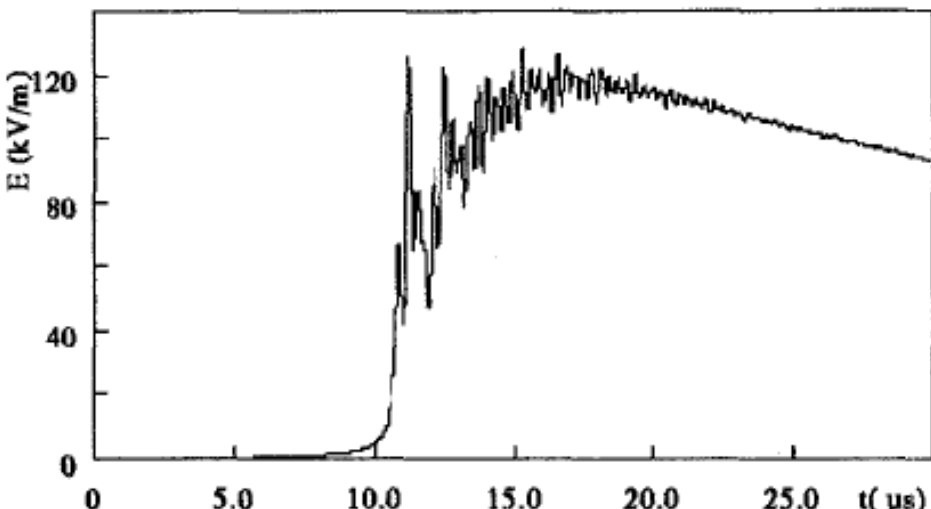
Figure 2. Current stroke at point B of the LPS.



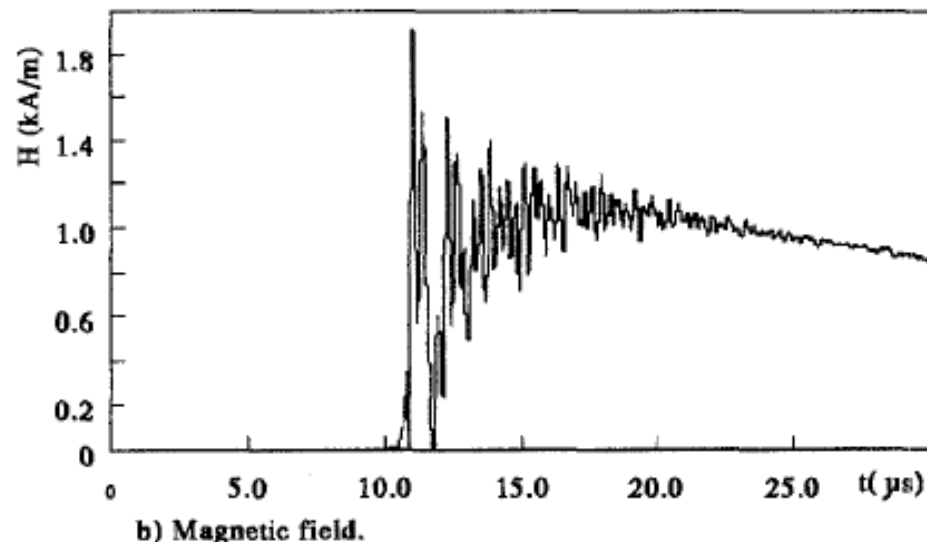
## Expressões Algébricas para campo eletromagnético no domínio do tempo e em coordenadas Cartesianas

Resultados – descarga no ponto  $B(9, 9, 85)$  da EPDA

Campo eletromagnético no ponto  $P(15, 15, 5)$  (metros)



a) Electric Field

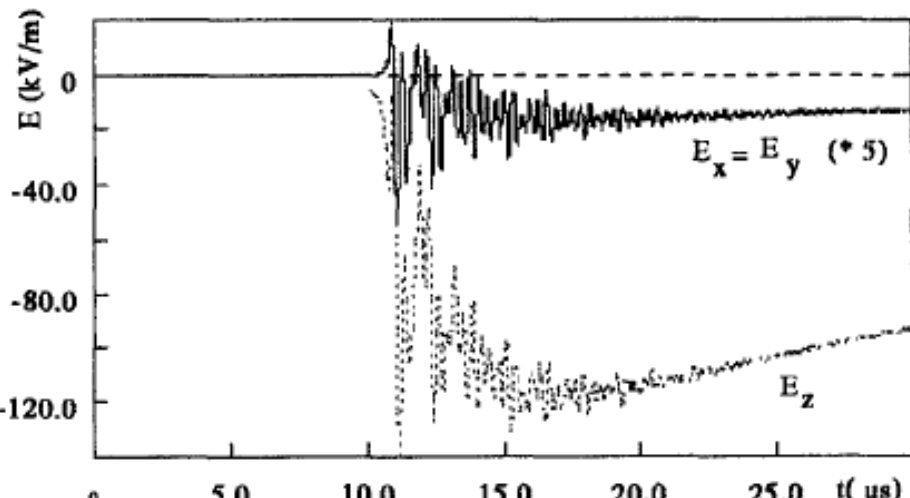


b) Magnetic field.

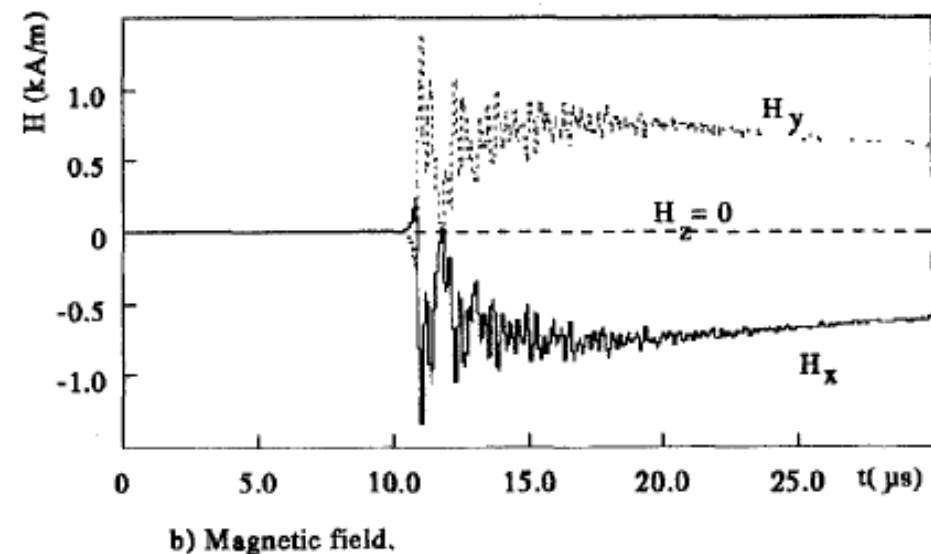
## Expressões Algébricas para campo eletromagnético no domínio do tempo e em coordenadas Cartesianas

Resultados – descarga no ponto  $B(9, 9, 85)$  da EPDA

Componentes vetoriais do campo eletromagnético no ponto  $P(15, 15, 5)$ .



a) Electric field



b) Magnetic field.

## Conclusão

- A técnica numérica TLM destaca-se por unir precisão no cálculo de transitórios de corrente e flexibilidade para modelagem geométrica complexa, sendo muito útil em estudos de compatibilidade eletromagnética.
- As expressões analíticas do campo eletromagnético no domínio do tempo e em coordenadas Cartesianas, pode facilitar esses estudos, ao considerar a combinação dessas expressões com a técnica numérica TLM. Essa combinação demonstra-se particularmente menos oneroso para análises onde:
  - **Geometrias complexas** (como estruturas de proteção contra descargas atmosféricas ou placas de circuito impresso) exigem flexibilidade computacional;
  - **Transitórios de corrente** são determinados com precisão pela TLM, servindo como entrada direta para as expressões propostas;

## Conclusão

- **Características do campo eletromagnético.** As expressões algébricas permitem analisar as características do campo eletromagnético tanto em regime de campo próximo quanto de campo distante, isolando a contribuição individual de cada região para o fenômeno estudado — essencial em problemas como acoplamento indutivo em geometrias complexas ou irradiação em sistemas de aterramento estratificado.
- **Recursos computacionais** são otimizados, evitando a sobrecarga de métodos puramente numéricos (como FDTD ou elementos finitos) em cenários com fronteiras espaciais mal definidas ou muito extensas.

## Conclusão

A validação cruzada entre os resultados obtidos com as expressões analíticas e técnicas consagradas (como as de Uman e Thomas-Christopoulos) reforça a robustez da metodologia.

A **sinergia entre TLM e as expressões analíticas** aqui apresentadas abre caminho para soluções eficientes em CEM, equilibrando rigor matemático e viabilidade computacional.

Como perspectiva futura, propõe-se aplicar a sinergia entre a técnica TLM e as expressões analíticas desenvolvidas à modelagem de sistemas de aterramento em solos estratificados, ampliando a precisão em estudos de compatibilidade eletromagnética e proteção contra descargas atmosféricas.

## Referências

- [1] UMAN, M. A. *Analytical Expression for the Electromagnetic Field from Lightning Return Strokes*. **Journal of Geophysical Research**, v. 80, n. 15, p. 2102-2108, 1975.
- [2] THOMAS, D. W. P.; CHRISTOPOULOS, C. *Time-Domain Analysis of Electromagnetic Fields in Cartesian Coordinates*. **IEEE Transactions on Electromagnetic Compatibility**, v. 36, n. 2, p. 160-168, 1994.
- [3] JOHNS, P.B. **The Art of Modelling. Electronics and Power**, Aug., 1979.
- [4] C. Christopoulos. **The Transmission Line Modeling – TLM Method in Electromagnetics**. IEEE Press, 1995.
- [5] E. K. Miller. **A selective survey of computational electromagnetics**. *IEEE Trans. Antennas Propag.*, vol. 26, pp. 1281–1305, 1988.
- [6] M.N.O. Sadiku. **Numerical Techniques in Electromagnetics**, 2<sup>nd</sup>. Edition. CRC Press, 2001.
- [7] CAIXETA, Geraldo Peres. **Simulação Computacional de Descargas Atmosféricas em Estruturas de Proteção Visando Análises de Compatibilidade Eletromagnética**, Tese de doutorado, UNICAMP, 2000.
- [8] PAUL, C.R. **Introduction to Electromagnetic Compatibility**. John Wiley & Sons, 1992, 765 p.
- [9] CAIXETA, G.P and PISSOLATO FILHO, J. **Electromagnetic Fields Generated by Lightning on Protection Structures of Telecommunication Centers**, IEEE International Symposium on Electromagnetic Compatibility, Austin - USA, august, 1997.
- [10] CAIXETA, G.P and PISSOLATO FILHO, J. **Calculation of Electromagnetic Fields from Arbitrary Conductors Configurations in Time-Domain Simulations**, International Symposium on Electromagnetic Compatibility -- EMC'98 ROMA, Rome, Italy, September, 1998.

# IT-309 – Tópicos em Sistemas de Energia Elétrica

José Pissolato Filho / Geraldo Peres Caixeta – 2025



# OBRIGADO!

Prof. Geraldo Peres Caixeta, junho/2025.

[g.caixeta@ieee.org](mailto:g.caixeta@ieee.org)

<https://www.linkedin.com/in/geraldoperescaixeta/>

## EXTRA...

A apresentação a seguir acrescenta no modelo, o acoplamento de campo eletromagnético em estruturas.

Posteriormente à aplicação do modelo visto até aqui, com o campo eletromagnético conhecido e incidindo sobre linha(s) ou estrutura(s), o sinal induzido nesses condutores é acrescido no modelo T}LM...

## Método numérico TLM em 1D – Exemplos de aplicações

### EPDA

#### Função:

Escoar a energia de uma descarga atmosférica para a terra, protegendo o seu interior contra incidência direta ou indireta (por indução).

É constituída por cabos interconectados e dispostos numa geometria genérica.

#### Modelo:

Cada cabo conectado é modelado como uma LT com parâmetros distribuídos, considerando solo perfeitamente condutor (teoria da imagem).

## Método numérico TLM em 1D – Exemplos de aplicações

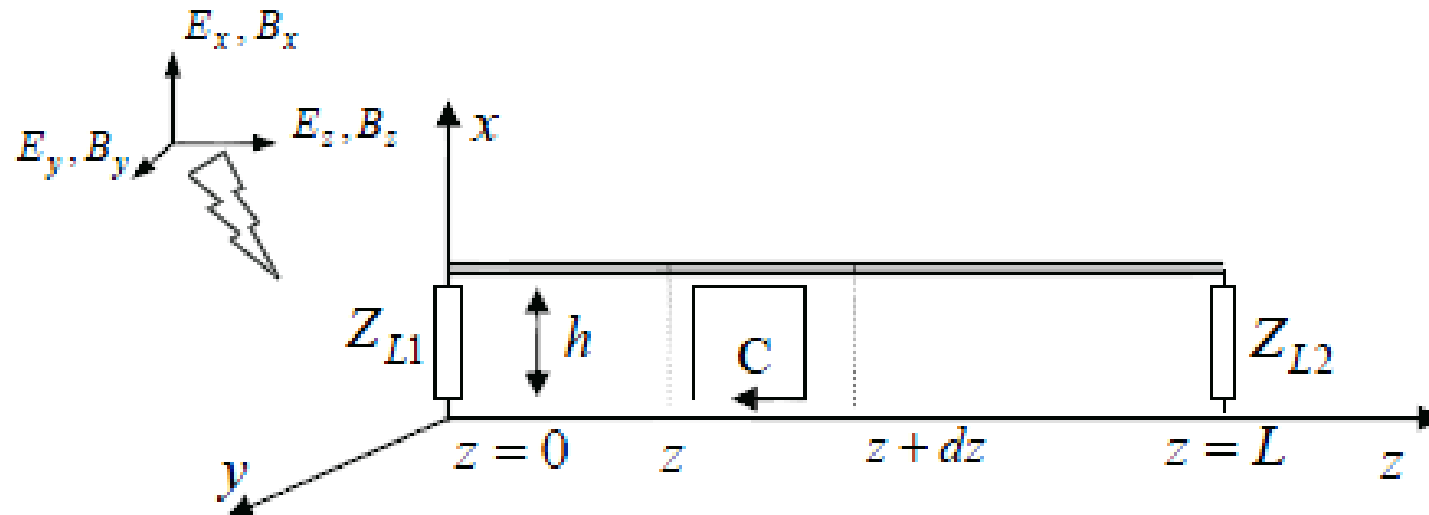
Interferência Eletromagnética  
em cabos, linhas, EPDAs, PCBs, ...

TLM 1D

## Método numérico TLM em 1D

→ Inclusão de acoplamento com campo eletromagnético externo

Sinal eletromagnético incidindo sobre linha(s) ou estrutura(s):



## Método numérico TLM em 1D

### Inclusão de acoplamento com campo eletromagnético externo

Equação da linha considerando a incidência de campo externo – Campo elétrico distribuído ao longo da linha (Maxwell):

$$\frac{\partial v^s(z, t)}{\partial z} + L \frac{\partial i(z, t)}{\partial t} = E_z^e(h, z, t)$$

$$\frac{\partial i(z, t)}{\partial z} + C \frac{\partial v^s(z, t)}{\partial t} = 0$$

$$v^s(0, t) = -Z_{L1} i(0, t) + \int_0^h E_x^e(x, 0, t) dx$$

$$v^s(L, t) = Z_{L2} i(L, t) + \int_0^h E_x^e(x, L, t) dx$$

$v^s(z, t)$  = tensão de espalhamento:

$$v^s(z, t) = v(z, t) - v^e(z, t)$$

$$v^e(z, t) = - \int_0^h E_x^e(x, z, t) dx$$

$v^e(z, t)$  = tensão induzida.

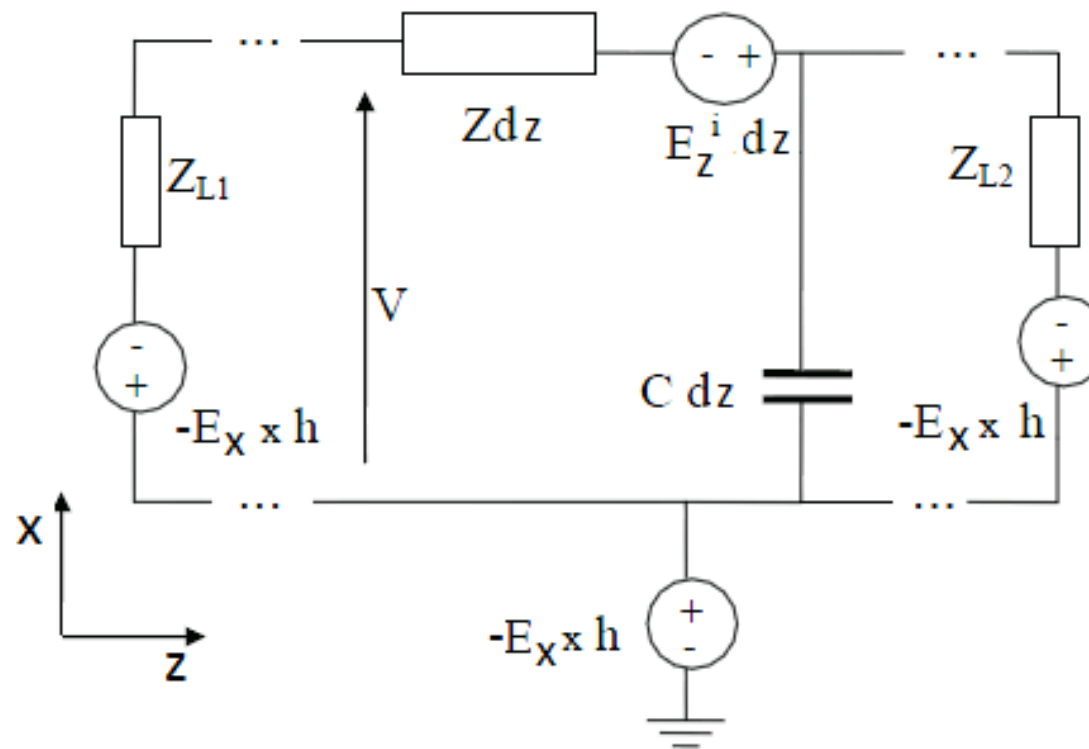
$v(z, t)$  = tensão natural da linha.

← Condições de contorno

## Inclusão de acoplamento com campo eletromagnético externo

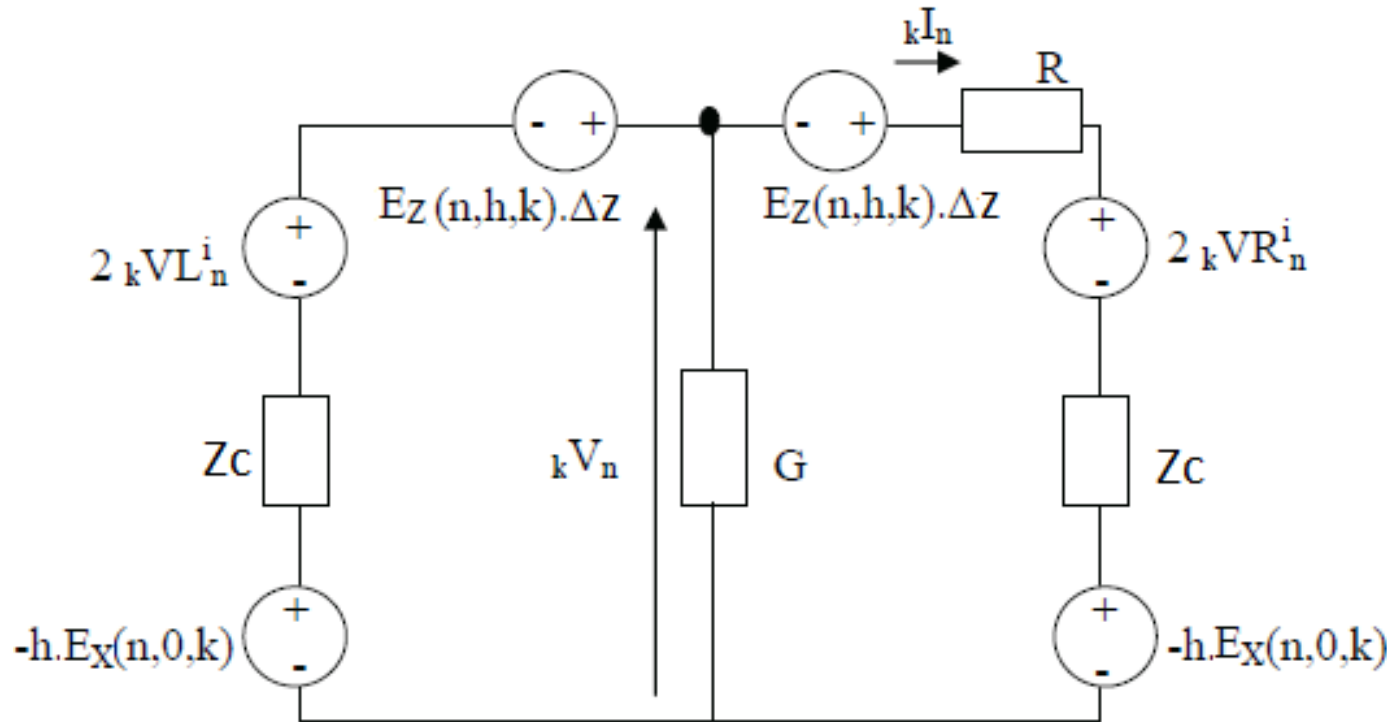
Componente do **Campo Elétrico** paralela e vertical ao longo da linha e componente **vertical nas terminações**.

TLM: Inserção do efeito do campo externo sobre a linha como fontes de tensão em série com a tensão resultante em cada ponto da linha.



## Inclusão de acoplamento com campo eletromagnético externo

Equivalente Thevenin / TLM



Componentes do campo elétrico externo:  
 $Ex$  = vertical.  
 $Ez$  = horizontal.

$h$  = altura da linha, ou distância a partir da referência.

## Inclusão de acoplamento com campo eletromagnético externo

### Equacionamento TLM

$${}_{k}V_n = \frac{\frac{2}{\epsilon}VL_n^i + \frac{2}{\kappa}VR_n^i - hE_z \left( \frac{1}{Z_0} + \frac{1}{Z_0 + R} \right) + E_x \Delta x \left( \frac{1}{Z_0} - \frac{1}{Z_0 + R} \right)}{\frac{1}{Z_0} + \frac{1}{R + Z_0} + G} \quad (1.i)$$

$${}_{k}I_n = \frac{{}_{k}V_n - 2{}_{k}VR_n^i + E_x \Delta x + hE_z}{R + Z_0} \quad (2.i)$$

## Inclusão de acoplamento com campo eletromagnético externo

### Equacionamento TLM

$${}_k VL_n = {}_k V_n \quad (3.i)$$

$${}_k VR_n = 2 {}_k VR_n^i - E_x \Delta x - h E_Z + {}_k I_n Z_0 \quad (4.i)$$

$${}_k VL^r_n = {}_k VL_n - {}_k VL_n^i \quad (5.i)$$

$${}_k VR^r_n = {}_k VR_n - {}_k VR_n^i \quad (6.i)$$

$${}_{k+1} VL^i_n = {}_k VR^r_{n-1} \quad (7.i)$$

$${}_{k+1} VR^i_n = {}_k VL^r_{n+1} \quad (8.i)$$

Obs.: Apenas (4) é alterada → (4.i)

## Inclusão de acoplamento com campo eletromagnético externo

Equacionamento TLM – terminação em uma carga  $R_T$

Intante “k”:

$$_k I_n = \frac{2 {}_k VL_n^i + E_x \Delta x - 2 h E_z}{R_T + Z_0} \quad (9.i)$$

$$_k V_n = R_T \cdot {}_k I_n \quad (10.i)$$

$$_k VL^r_n = {}_k V_n - {}_k VL^i_n \quad (11.i)$$

Intante “k+1”:

$$_{k+1} VL^i_n = {}_k VR^r_{n-1} \quad (12.i)$$

## Inclusão de acoplamento com campo eletromagnético externo

Equacionamento TLM – terminação em uma fonte Vs

Intante “k”:

$$_k V_1 = \frac{\frac{_k V_s}{R_s} + \frac{2_k VR_1^i - h E_z - E_x \Delta x}{Z_0 + R}}{\frac{1}{R_s} + \frac{1}{R + Z_0}} \quad (13.i)$$

$$_k I_1 = \frac{_k V_1 - 2_k VR_1^i + E_x \Delta x + h E_z}{R + Z_0} \quad (14.i)$$

$$_k VR_1 = 2_k VR_1^i + _k I_1 Z_0 \quad (15.i)$$

$$_k VR_1^r = _k VR_1 - _k VR_1^i \quad (16.i)$$

Intante “k+1”:

$$_{k+1} VR_1^i = _k VL_2^r \quad (17.i)$$

## Inclusão de acoplamento com campo eletromagnético externo

Equacionamento TLM – terminação em múltiplas linhas

As equações não se alteram

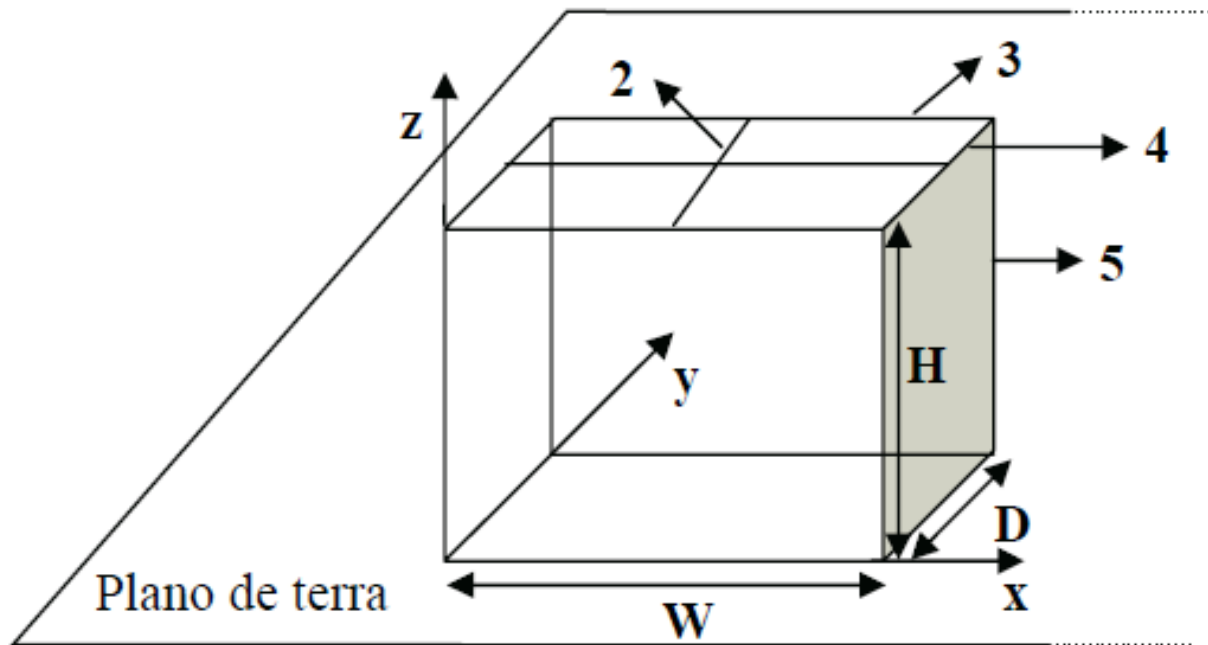
**Exemplo: indução – técnica aplicada no estudo de caso desenvolvido por Zeddam – (F. Zago, Estudo de Tensões Induzidas por Descargas Atmosféricas. Dissertação de mestrado, Unicamp, 2004).**

**(Zeddam and Karwowski. “Transient Currents on LPS due to Indirect Lightning Effect”. IEEE Proc. Sci. Meas. Technology. Vol 142, No.3, 1995).**

Descarga atmosférica a 200 m de uma SPDA, e análise de corrente induzida em diferentes condutores da estrutura.

Trabalho realizou medições comparadas com simulações aplicando método dos momentos no domínio da frequência, e posteriormente FFT para resultados no domínio do tempo.

**Exemplo: indução provocada pelo campo eletromagnético de uma descarga atmosférica a 200 m da estrutura.**



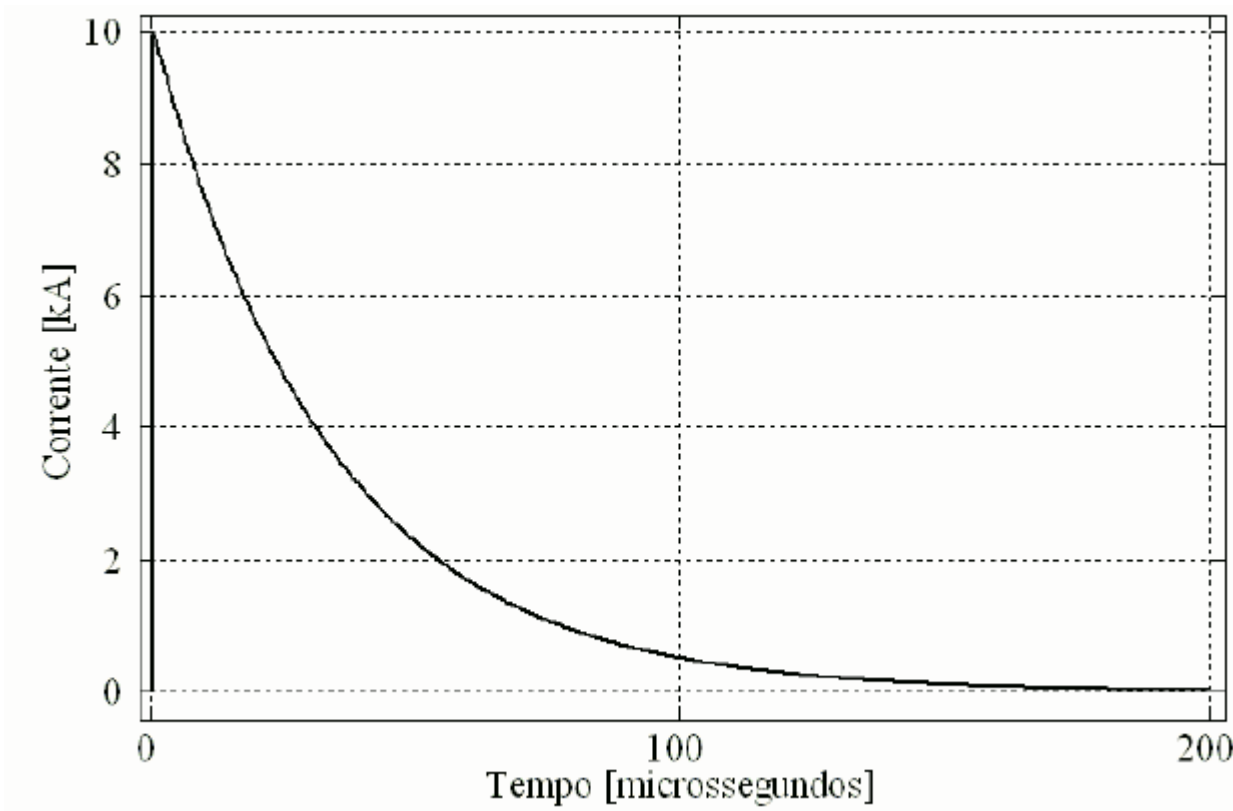
$W = D = H = 24$  m.

Descarga no ponto  
(0; 200; 0).

Canal da descarga de  
7 km.

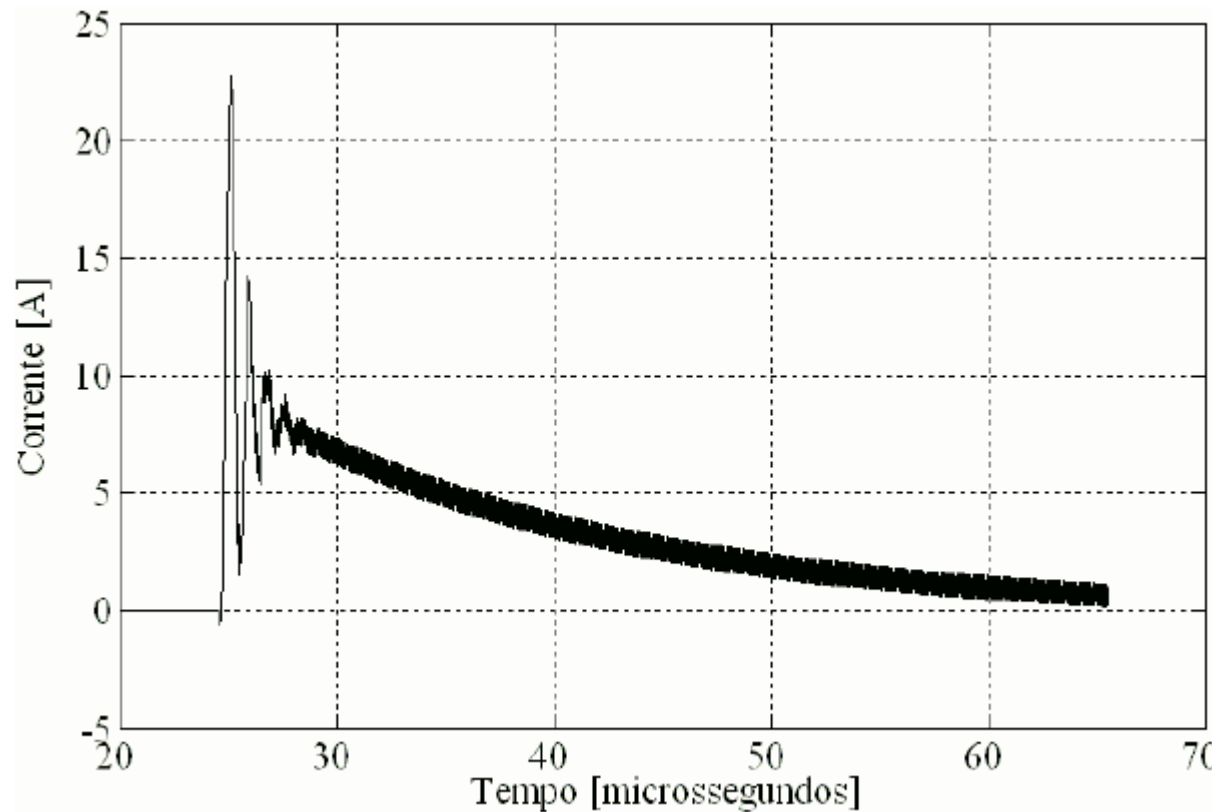
$I_p = 10$  kA (valor de pico da corrente da descarga).

**Exemplo: indução provocada pelo campo eletromagnético de uma descarga atmosférica a 200 m da estrutura.**



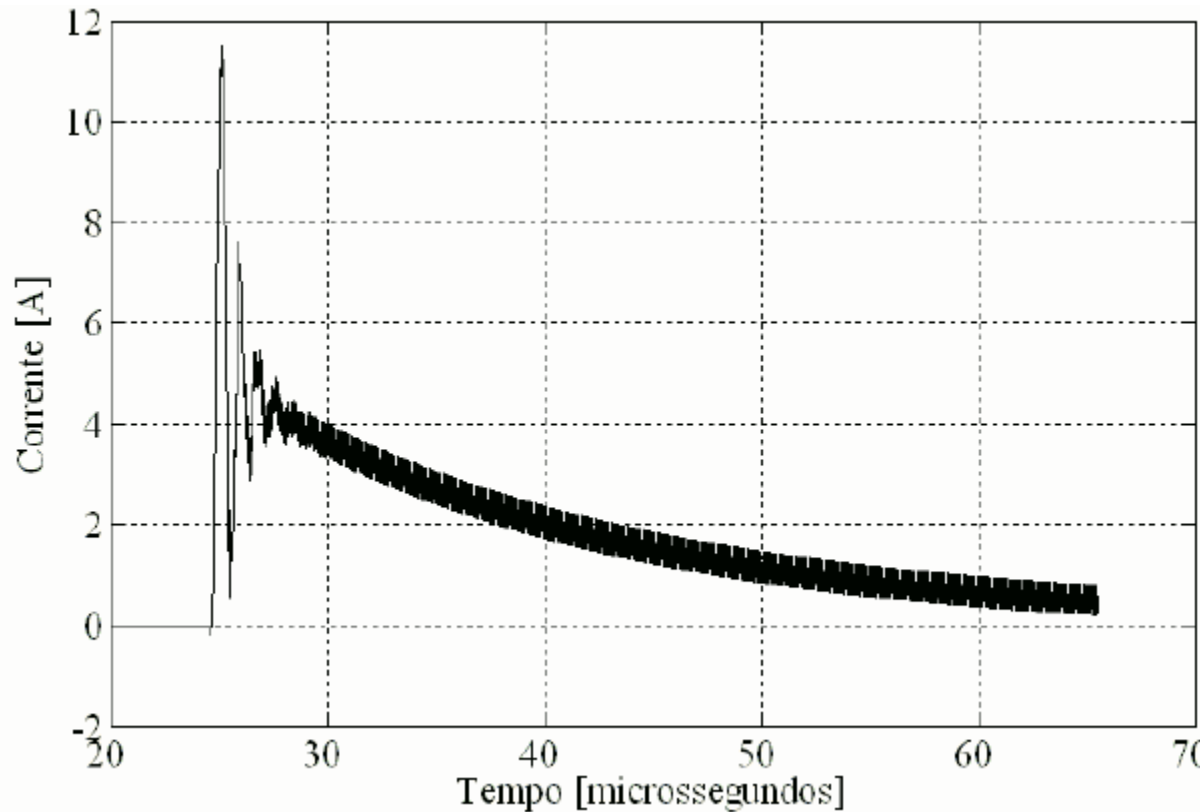
Corrente na base do canal

**Exemplo: indução provocada pelo campo eletromagnético de uma descarga atmosférica a 200 m da estrutura.**



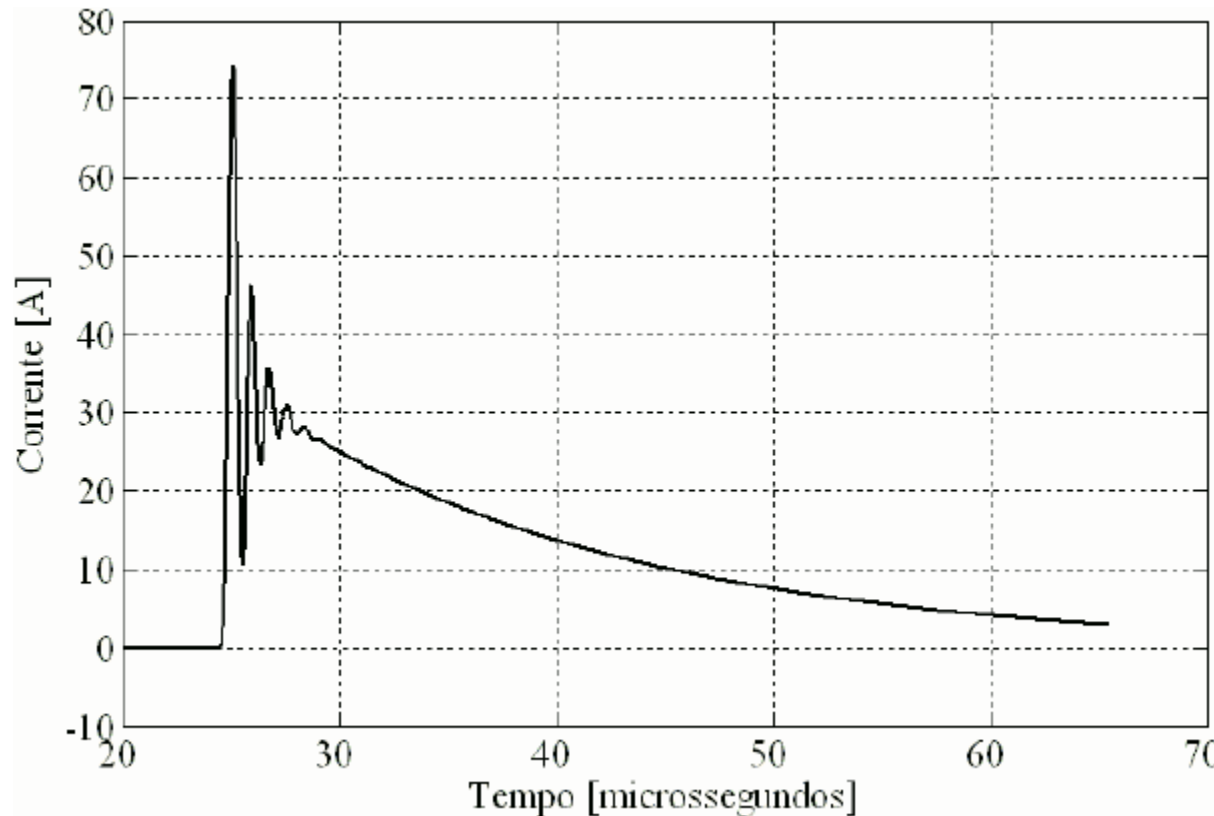
Corrente induzida no meio do condutor 2.

**Exemplo: indução provocada pelo campo eletromagnético de uma descarga atmosférica a 200 m da estrutura.**



Corrente induzida no meio do condutor 3.

**Exemplo: indução provocada pelo campo eletromagnético de uma descarga atmosférica a 200 m da estrutura.**



Corrente induzida no meio do condutor 5.

**Exemplo: indução provocada pelo campo eletromagnético de uma descarga atmosférica a 200 m da estrutura.**

Comparação de resultado dos valores de pico da corrente induzida na SPDA com o apresentado por Zeddam.

Condutor	Zeddam [45]	Simulação
	$I_{pico} [A]$	$I_{pico} [A]$
2	20	23
3	10	11
4	30	34
5	50	74